

**T.C.**

**NEVŞEHİR HACI BEKTAŞ VELİ ÜNİVERSİTESİ**

**FEN BİLİMLERİ ENSTİTÜSÜ**

**BENJAMIN-BONA-MAHONY-BURGERS**

**(BBM-BURGERS) DENKLEMİNİN B-SPLINE SONLU**

**ELEMAN YÖNTEMLERİ İLE SAYISAL ÇÖZÜMLERİ**

**Tezi Hazırlayan**

**Ahmet BOZDAĞ**

**Tez Danışmanı**

**Doç. Dr. Seydi Battal Gazi KARAKOÇ**

**Matematik Anabilim Dalı**

**Yüksek Lisans Tezi**

**Ağustos 2021**

**NEVŞEHİR**



**T.C.**

**NEVŞEHİR HACI BEKTAŞ VELİ ÜNİVERSİTESİ**

**FEN BİLİMLERİ ENSTİTÜSÜ**

**BENJAMIN-BONA-MAHONY-BURGERS**

**(BBM-BURGERS) DENKLEMİNİN B-SPLINE SONLU**

**ELEMAN YÖNTEMLERİ İLE SAYISAL ÇÖZÜMLERİ**

**Tezi Hazırlayan**

**Ahmet BOZDAĞ**

**Tez Danışmanı**

**Doç. Dr. Seydi Battal Gazi KARAKOÇ**

**Matematik Anabilim Dalı**

**Yüksek Lisans Tezi**

**Ağustos 2021**

**NEVŞEHİR**

## TEŐEKKÜR

Yüksek lisans öğrenimim ve tez çalışmamda arařtırmamın her aşamasında bana yol gösteren, yardımcı olan, engin bilgilerini benimle paylaşan, her türlü konuda desteęini benden esirgemeyen, tezimde büyük emeęi geçen danışman hocam Sayın Doç. Dr. Seydi Battal Gazi KARAKOÇ'a, bu tez çalışmasına başlamama vesile olan ve maddi, manevi desteklerini benden esirgemeyen eşim Yasemin BOZDAĞ'a çok teşekkür ederim.



**BENJAMIN-BONA-MAHONY-BURGERS  
(BBM-BURGERS) DENKLEMİNİN B-SPLINE SONLU  
ELEMEN YÖNTEMLERİ İLE SAYISAL ÇÖZÜMLERİ  
(Yüksek Lisans Tezi)**

**Ahmet BOZDAĞ**

**NEVŞEHİR HACIBEKTAŞ VELİ ÜNİVERSİTESİ  
FEN BİLİMLERİ ENSTİTÜSÜ**

**Ağustos 2021**

**ÖZET**

Bu tez çalışmasında, BBM-Burgers (Benjamin Bona Mahony-Burgers) denkleminin sayısal çözümleri kübik B-spline fonksiyonlar kullanılarak Galerkin yöntemi ve ayrıca septik B-spline fonksiyonlar kullanılarak kollokasyon sonlu elemanlar yöntemi ile elde edilmiştir. Bu tez çalışmamız dört bölümden oluşmaktadır.

Birinci bölümde, sonlu elemanlar yöntemi, spline fonksiyonlar, B-spline fonksiyonlar, septik B-Spline fonksiyonlar, Galerkin yöntemi, Kollokasyon yöntemi ve BBM-Burgers denklemi hakkında detaylı bilgiler verilmiştir.

İkinci bölümde, kübik B-Spline fonksiyonlar ile Benjamin Bona Mahony Burgers denklemi için Galerkin sonlu elemanlar yöntemiyle yaklaşık çözümler elde edilmiştir.

Üçüncü bölümde, Benjamin Bona Mahony Burgers denkleminin septik B-Spline kollokasyon yöntemi ile sayısal çözümleri bulunmuştur.

Dördüncü bölümde, elde edilen sayısal çözümlerle ilgili elde edilen sonuçlar verilmiştir.

**Anahtar Kelimeler:** *B-Spline Fonksiyonlar, Benjamin-Bona-Mahony-Burgers Denklemi, Sonlu Elemanlar Yöntemi, Kollokasyon Yöntemi, Galerkin Yöntemi*  
**Tez Danışmanı:** Doç. Dr. Seydi Battal Gazi KARAKOÇ  
**Sayfa sayısı:** 60

**BENJAMIN-BONA-MAHONY-BURGERS  
(BBM-BURGERS) B-SPLINE OF THE EQUATION  
NUMERICAL SOLUTIONS WITH FINITE ELEMENT METHODS  
(M. Sc. Thesis)**

**Ahmet BOZDAĞ**

**NEVŞEHİR HACİBEKTAŞ VELİ UNIVERSITY  
GRADUATE SCHOOL OF NATURAL AND APPLIED SCIENCES**

**August 2021**

**ABSTRACT**

In this thesis, numerical solutions of the BBM-Burgers (Benjamin Bona Mahony-Burgers) equation are obtained with Galerkin finite element method using cubic B-spline functions and also with collocation finite element method using septic B-spline functions.

This thesis consists of four chapters. In the first chapter, detailed information is given about the finite element method, spline functions, B-spline functions, septic B-Spline functions, Galerkin method, Collocation method and BBM-Burgers equation.

In the second chapter, numerical solutions of the BBM-Burgers equation are obtained with Galerkin finite element method with cubic B-spline functions.

In the third chapter, numerical solutions of the Benjamin Bona Mahony Burgers equation are found by septic B-Spline collocation method.

In the fourth chapter, the obtained results and suggestions about the numerical solutions are given.

***Keywords: B-Spline Functions, Benjamin-Bona-Mahony-Burgers Equation, Finite Element Method, Collocation Method, Galerkin Method***

**Thesis Supervisor: Assoc. Prof. Seydi Battal Gazi KARAKOÇ**

**Number of pages: 60**

## İÇİNDEKİLER

<b>KABÜL ONAY SAYFASI</b> .....	i
<b>TEZ BİLDİRİM SAYFASI</b> .....	ii
<b>TEŞEKKÜR</b> .....	iii
<b>ÖZET</b> .....	iv
<b>ABSTRACT</b> .....	v
<b>İÇİNDEKİLER</b> .....	vi
<b>TABLolar LİSTESİ</b> .....	viii
<b>ŞEKİLLER LİSTESİ</b> .....	ix
<b>SİMGELER VE KISALTMALAR</b> .....	xi
<b>1. BÖLÜM</b>	
<b>TEMEL KAVRAMLAR</b>	
1.1. Sonlu Elemanlar Yöntemi.....	1
1.2. Spline Fonksiyonlar.....	2
1.3. B- Spline Fonksiyonlar.....	3
1.3.1. Kübik B-Spline Fonksiyonlar.....	4
1.3.2. Septik B-Spline Fonksiyonlar.....	6
1.4. Galerkin Yöntemi.....	9
1.5. Kollokasyon Yöntemi.....	9
1.6. BBM-Burgers Denklemi.....	11
<b>2. BÖLÜM</b>	
<b>KÜBİK B-SPLINE FONKSİYONLAR İLE BENJAMIN BONA MAHONY BURGERS DENKLEMİ İÇİN GALERKİN SONLU ELEMANLAR ÇÖZÜMÜ</b>	
2.1. GİRİŞ.....	14
2.2. BBM-Burgers Denklemi için Galerkin Yöntemi.....	14

2.3. Yarı Ayrık Galerkin Şeması.....	18
2.4. BBM-Burgers Denklemi için Galerkin Yönteminin Uygulanışı.....	21
2.5. Kararlılık Analizi.....	26
2.6. Sayısal Örnekler ve Sonuçlar .....	27
2.6.1. Tek Bir Solitary Dalganın Yayılımı.....	28
2.6.2. İki Solitary Dalganın Etkileşimi.....	34
2.6.3. Üç Solitary Dalganın Etkileşimi.....	35
2.6.4. Undular Bore Yayılımı.....	36
<b>3. BÖLÜM</b>	
<b>BBM-BURGERS DENKLEMİNİN SEPTİK B-SPLINE KOLLOKASYON YÖNTEMİ İLE SAYISAL ÇÖZÜMLERİ</b>	
3.1. GİRİŞ.....	39
3.2. BBM-Burgers Denklemi İçin Kollokasyon Yöntemi.....	39
3.3. Kararlılık Analizi.....	44
3.4. Sayısal Örnekler ve Sonuçlar.....	45
3.4.1. Tek Bir Solitary Dalganın Yayılımı.....	45
3.4.2. İki Solitary Dalganın Etkileşimi.....	52
3.4.3. Üç Solitary Dalganın Etkileşim.....	53
<b>4. BÖLÜM</b>	
<b>SONUÇLAR .....</b>	<b>54</b>
<b>KAYNAKLAR.....</b>	<b>55</b>
<b>ÖZGEÇMİŞ.....</b>	<b>60</b>



## TABLULAR LİSTESİ

- Tablo 1.1.**  $\phi_m(x)$ ,  $\phi'_m(x)$  ve  $\phi''_m(x)$  in düğüm noktalarında aldığı değerler ..... 5
- Tablo 1.2.**  $\phi_m(x)$ ,  $\phi'_m(x)$ ,  $\phi''_m(x)$ ,  $\phi'''_m(x)$ ,  $\phi_m^{(iv)}(x)$ ,  $\phi_m^{(v)}(x)$  ve  $\phi_m^{(vi)}(x)$  in düğüm noktalarında aldığı değerle..... 7
- Tablo 2.1.**  $c = h = \Delta t = 0.1$ ,  $[-40,60]$  parametreleri için tek solitary dalğanın farklı zaman adımlarında elde edilen değişmezleri ve hata normları..... 30
- Tablo 2.2.**  $c = 0.03$ ,  $h = 0.1$ ,  $\Delta t = 0.1$ ,  $[-40,60]$  parametreleri için tek solitary dalğanın farklı zaman adımlarında elde edilen değişmezleri ve hata normları..... 31
- Tablo 2.3.** Tek solitary dalğanın  $h = 0.05$ ,  $\Delta t = 0,025$ , parametreleri için  $[-40,100]$  aralığındaki hareketi..... 33
- Tablo 2.4.** Bir dalgalı undular bore için değişkenler  $U_0 = 0.1$ ,  $x_0 = 0$ ,  $d = 5$ ,  $\mu = 1/6$ ,  $h = 0.1$ ,  $\Delta t = 0.1$ ,  $x \in [-36,300]$ ..... 37
- Tablo 3.1.** Tek dalğanın farklı zaman adımlarında  $c = h = \Delta t = 0.1$  için  $[-40,60]$  aralığında elde edilen değişmezler ve hata normları..... 47
- Tablo 3.2.** Tek dalğanın farklı zaman adımlarında  $c = 0.03$ ,  $h = 0.1$ ,  $\Delta t = 0.1$  için  $[-40,60]$  aralığında elde edilen değişmezler ve hata normları ..... 48
- Tablo 3.3.** Tek dalğanın farklı zaman adımlarında  $h = 0.05$ ,  $\Delta t = 0.025$  için  $[-40,100]$  aralığında elde edilen değişmezler ve hata normları..... 50

## ŞEKİLLER LİSTESİ

Şekil 1.1. Kübik B-Spline Şekil Fonksiyonları .....	6
Şekil 1.2. Septik B-Spline Şekil Fonksiyonları.....	9
Şekil 2.1. Tek solitary dalganın (a) $c = h = \Delta t = 0,1$ , (b) $c = 0,03$ , $h = \Delta t = 0,1$ parametreleri için $-40 \leq x \leq 60$ aralığında $t = 0, 5, 10, 15$ ve $20$ zaman adımlarındaki hareketi.....	31
Şekil 2.2. Tek solitary dalganın (a) $c = h = \Delta t = 0,1$ (b) $c = 0,03$ , $h = \Delta t = 0,1$ parametreleri için $-40 \leq x \leq 60$ aralığında $t = 20$ zaman adımındaki hata dağılımları.....	32
Şekil 2.3. Tek solitary dalganın $h = 0.05$ , $\Delta t = 0.025$ parametreleri için $-40 \leq x \leq 100$ aralığında $t = 0, 10, 20, 30, 40$ zaman adımlarında ki hareketi.....	34
Şekil 2.4. Tek solitary dalganın $h = 0.05$ , $\Delta t = 0.025$ parametreleri için $-40 \leq x \leq 100$ aralığında $t = 20$ zaman adımındaki hata dağılımları.....	34
Şekil 2.5. İki solitary dalganın $t = 5, 15, 30$ zaman adımlarındaki etkileşimi.....	35
Şekil 2.6. Üç solitary dalganın $t = 5, 15, 30$ zaman adımlarındaki etkileşimi.....	36
Şekil 2.7. $d = 2$ için $t = 0, 4, 8, 12$ deki undular bore un konfigürasyonları.....	38
Şekil 2.8. $d = 5$ için $t = 0, 4, 8, 12$ deki undular bore un konfigürasyonları.....	38
Şekil 3.1. Tek solitary dalganın $c = h = \Delta t = 0.1$ ve $c = 0.03$ , $h = \Delta t = 0.1$ parametreleri için $-40 \leq x \leq 60$ aralığında $t = 0, 10$ ve $20$ zaman adımlarındaki hareketi...	48
Şekil 3.2. Tek solitary dalganın $c = h = \Delta t = 0.1$ ve $c = 0.03$ , $h = \Delta t = 0.1$ parametreleri için $-40 \leq x \leq 60$ aralığında $t = 20$ zaman adımındaki hata dağılımı.....	49
Şekil 3.3. Tek solitary dalganın $h = 0.05$ , $\Delta t = 0.025$ parametreleri için $-40 \leq x \leq 100$ aralığında $t = 0, 5, \dots, 40$ zaman adımlarındaki hareketi.....	51
Şekil 3.4. Tek solitary dalganın $h = 0.05$ , $\Delta t = 0.025$ parametreleri için $-40 \leq x \leq 100$ aralığındaki hata dağılımları.....	51

**Şekil 3.5.**  $t = 0, 5, \dots, 25$  zaman adımlarında iki solitary dalganın girişimi..... 52

**Şekil 3.6.**  $t = 0, 5, \dots, 25$  zaman adımlarında üç solitary dalganın girişimi..... 53



## SİMGELER VE KISALTMALAR LİSTESİ

BBM	Benjamin -Bona-Mahony
Exp	Üstel Fonksiyon
EW	Eşit Genişlik
HAM	Homotopy Analiz Method
HPM	Homotopy Perturbasyon Method
KdV	Korteweg-de Vries
RLW	Düzenli Uzun Dalga
$W_m$	Ağırlık fonksiyonu
$U_N$	Yaklaşık çözüm
$I_1$	Kütle
$I_2$	Momentum
$I_3$	Enerji
$L_2$ ve $L_\infty$	Hata normları

# 1. BÖLÜM

## TEMEL KAVRAMLAR

### 1.1. Sonlu Elemanlar Yöntemi

Sonlu eleman terimi Ray W. Clough tarafından 1960 yılında üçgensel ve dikdörtgensel elemanların düzlemsel gerilme analizinde kullanılmasıyla ortaya çıkmıştır [1]. Bu yöntem daha sonra, kısmi diferansiyel denklemlerin çözümü ile ilgili G. Strang ve G. J. Fix gibi matematikçilerin varyasyonel yöntemleri, bir problemin yaklaşık çözümünün bulunmasıyla ilgili yaptıkları çalışmalarda kullanmışlardır [2]. Sonrasında sonlu elemanlar yöntemi üzerine, 1967 yılında yazılan ilk kitapla Zienkiewicz ve Cheung bu yöntemin gelişimine katkı sağlamışlardır [3-4].

Sonlu elemanlar yöntemi düzgün ve düzgün olmayan yapısı karmaşık geometrik şekillerde bilgisayar teknolojilerinden de yararlanarak bir programlama dilinde çalıştırıldığında iyi sonuç vermektedir. Bu problem geniş bir sistemi belli düğüm noktalarına ayırarak suretiyle daha küçük parçalara ayırır ve tek bir işlemle tüm bölge üzerindeki problemi çözmeden alt bölgeler için çözüm bulunur, sonra veriler birleştirilir [5].

Sonlu elemanlar yönteminin diğer yöntemlere göre avantajları şöyledir:

- 1- Farklı yöntemlerle modellenemeyen düzgün olmayan şekilli yapıları modellemede kolaylık sağlar.
- 2- Eleman denklemleri ayrı ayrı ele alındığında farklı malzemelerden oluşan yapıları da modellemede kolaylık sağlar.
- 3- Sınır şartları değişse dahi sonlu eleman modelinin değişmemesi ve farklı sınır şartları altında da kullanılabilmesi.
- 4- Elemanların büyüklüklerinin gerektiğinde değiştirilmesi.
- 5- Sonlu eleman modelinin istenildiğinde rahatlıkla değiştirilebilmesi.
- 6- Bilgisayar programlama dilinde kolaylıkla uygulanabilir olması olarak sıralanabilir.

Dezavantajları ise;

- 1- Çözüm bölgesinin alt bölgelere ayrılmasında bir takım tecrübe gerekmesi.
- 2- Süreklilik şartlarının alt bölgelere uygulanmasında zorluklar çıkması.
- 3- Bilgisayarla çalıştırılma işlemi sırasında hatalı veri girişinin yapılabilmesi olarak söylenebilir [6].

Bir probleme sonlu eleman yönteminin uygulanmasında kullanılan basamaklar ise şöyledir;

- 1- Öncelikle verilen bölgenin ayrıklaştırılması (diskritizasyon).
- 2- Tipik elemanlar için eleman denkleminin oluşturulması.
- 3- Verilen problemin denklemleri oluşturmak için eleman denklemlerinin birleştirilmesi.
- 4- Problemin sınır şartlarının uygulanması.
- 5- Ardından birleştirilmiş denklemlerin çözülmesi.
- 6- Son olarak sonuçların grafik/tablo şeklinde değerlendirilmesi [7-8].

## **1.2. Spline Fonksiyonlar**

Sayısal yaklaşım yöntemleri, matematik alanında yaygın olarak kullanılan çözüm tekniklerindedir. Bu yöntemlerden biri, veri uydurma problemi diğeri ise bir operatör denklemleri vasıtasıyla elde edilen fiziksel problemlerin matematiksel modellemelerinden oluşan yöntemlerdir. Bu türden problemler adi ve kısmi diferansiyel denklemler için sınır değer, öz değer ve özvektör, integro-diferansiyel denklemler gibi problemleri kapsamaktadır.

Bu problemlerde hassas bir yaklaşım elde etmek için polinom fonksiyonlar kullanılmıştır fakat yüksek dereceli polinomlar istenilen hassasiyeti göstermeyebileceğinden parçalı polinom haline getirilerek bu olumsuzluk giderilebilir. Spline interpolasyon yöntemi olarak adlandırılan bu yöntemde veri aralıkları sonlu değişik alt aralıklara bölünerek her bir alt aralık daha küçük dereceden polinomlar kullanılarak işlemin daha kolay ilerlemesi sağlanmaktadır [9].

Belirli düzgünlük şartlarında polinom parçalarının bir araya getirilmesi ile elde edilen fonksiyona spline fonksiyon denir.  $s(x)$  bir spline fonksiyon olmak üzere  $x_1, x_2, \dots, x_n$  düğüm noktaları  $-\infty = x_0 < x_1 < \dots < x_n < x_{n+1} = \infty$  monoton artan reel sayı dizisi olmak üzere  $\forall (x_i, x_{i+1}), (i = 0, \dots, n)$  aralığında  $x_0 = -\infty, x_{n+1} = \infty$  için  $s(x)$   $m$ . dereceden veya daha az dereceden bir polinomdur ayrıca  $s(x)$  spline fonksiyonu ve  $1, 2, \dots, (m-1)$ . mertebeden türevleri her aralıkta süreklidir. Bu durumda süreklilik şartları sağlanan polinomlar ve türevleri bir spline fonksiyon belirtir.

Spline fonksiyonların özellikleri şu şekilde sıralanabilir;

- 1- Spline fonksiyonlar düzgün (smooth) fonksiyonlardır.
- 2- Bu fonksiyonlar uygun bazlarla birlikte sonlu boyutlu lineer uzay oluşturur.
- 3- Spline fonksiyonların integralleri ve türevleri yine bir spline fonksiyon oluşturur.
- 4- Spline fonksiyonlar bilgisayar ortamında rahatlıkla hesaplanıp sonuçları gözlemlenebilir.
- 5- Spline fonksiyon kullanılması sonucunda ortaya çıkan matrisler çok kolayca hesaplanabilir.
- 6- Düşük dereceli spline fonksiyonlar hem esnektir hem de polinomlar kadar keskin salınım sergilemez.
- 7- Polinomların yapılarında karşılaştığımız işaret ve katsayılar bu yaklaşımda da ortaya çıkar.
- 8- Spline fonksiyon uygulanması sonucunda oluşan kararlılık ve yakınsaklık işlemleride kolayca incelenebilir.
- 9- Aynı anda spline fonksiyonlar ve türevleri yaklaşık olarak hesaplanabilir [8].

### **1.3. B- Spline Fonksiyonlar**

B-spline özel bir spline fonksiyon olup aynı zamanda parçalı polinom fonksiyondur. Dolayısıyla spline fonksiyonlar aynı dereceli B-spline fonksiyonların lineer bileşimi olarak yazılabilir [4].

Örneğin  $B_i^0 = \begin{cases} 1, & x_i < x < x_{i+1} \\ 0, & \text{diğer durumlar} \end{cases}$  sıfırcıncı dereceden B-spline fonksiyon olup  $B_i^0(x_i) = 1$

ve  $B_i^0(x_{i+1}) = 0$  olmak üzere bazı özellikleri şu şekilde sıralanabilir.

- $[x_i, x_{i+1})$  aralığında tanımlı olan  $B_i^0(x)$  B-spline fonksiyon  $\forall x, i$  için  $B_i^0(x) \geq 0$  eşitsizliği sağlanır aynı zamanda  $\forall x \in R$  için  $\sum_{i=-\infty}^{\infty} B_i^0(x) = 1$  eşitliği mevcuttur.
- Sıfırcıncı dereceden her spline fonksiyon düğüm noktaları dizisinde bir baz oluştururken  $B_i^0$  fonksiyonu sıçramanın olduğu düğüm noktalarında sayı doğrusu üzerinde sağdan süreklidir.
- Sıfırcıncı dereceden B-spline fonksiyonlar tüme varım yöntemi kullanılarak daha yüksek dereceden B-spline fonksiyonları hesaplamak için kullanılır [8,10,11].

### 1.3.1. Kübik B-Spline Fonksiyonlar

$[a, b]$  aralığının  $a = x_0 < x_1 < \dots < x_{N-1} < x_N = b$  ve  $h = x_{m+1} - x_m$  düzgün bir parçalanışı için,  $x_m$  düğüm noktalarında  $\phi_m(x)$  kübik B-spline fonksiyonlar,  $m = -1(1)N + 1$  noktaları için;

$$\phi_m(x) = \frac{1}{h^3} \begin{cases} (x - x_{m-2})^3, & [x_{m-2}, x_{m-1}] \\ h^3 + 3h^2(x - x_{m-1}) + 3h(x - x_{m-1})^2 - 3(x - x_{m-1})^3, & [x_{m-1}, x_m] \\ h^3 + 3h^2(x_{m+1} - x) + 3h(x_{m+1} - x)^2 - 3(x_{m+1} - x)^3, & [x_m, x_{m+1}] \\ (x_{m+2} - x)^3, & [x_{m+1}, x_{m+2}] \\ 0, & \text{diğer durumlar} \end{cases} \quad (1.3.1.1)$$

biçiminde parçalı polinom olarak tanımlanır [12].  $\{\phi_{-1}(x), \phi_0(x), \dots, \phi_N(x), \phi_{N+1}(x)\}$  kümesi  $[a, b]$  aralığında tanımlı fonksiyonlar için baz meydana getirir.  $\phi_m(x)$  kübik B-spline fonksiyonu ve türevleri  $[x_{m-2}, x_{m+2}]$  aralığı dışında sıfır olur. Şekil 1.1 de görüleceği gibi her bir  $\phi_m(x)$  kübik B-spline fonksiyonu  $[x_{m-2}, x_{m+2}]$  aralığında peş peşe dört elemanı kapsar ve dolayısıyla her bir  $[x_m, x_{m+1}]$  sonlu eleman  $\phi_{m-1}, \phi_m, \phi_{m+1}, \phi_{m+2}$  gibi dört kübik B-spline fonksiyon ile örtülmüş olur.



**Tablo 1.1**  $\phi_m(x)$ ,  $\phi'_m(x)$  ve  $\phi''_m(x)$  in düğüm noktalarında aldığı değerler

$x$	$x_{m-2}$	$x_{m-1}$	$x_m$	$x_{m+1}$	$x_{m+2}$
$\phi_m$	0	1	4	1	0
$h\phi'_m$	0	3	0	-3	0
$h^2\phi''_m$	0	6	-12	6	0

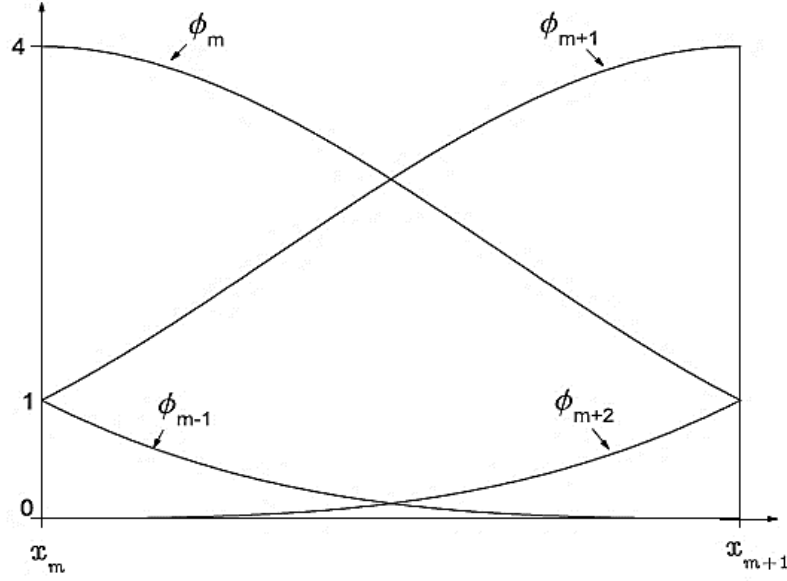
Yukarıdaki tabloda  $\phi_m(x)$  ve ikinci mertebeye kadarki  $\phi'_m(x)$  ve  $\phi''_m(x)$  türevlerinin düğüm noktalarındaki değerleri verilmiştir. Tipik bir  $[x_m, x_{m+1}]$  kapalı aralığında  $h\xi = x - x_m$ ,  $0 \leq \xi \leq 1$  lokal koordinat dönüşümü uygulanmasıyla  $[0,1]$  aralığında kübik B-spline fonksiyonlar  $\xi$  cinsinden aşağıdaki gibi bulunur:

$$\begin{aligned}\phi_{m-1}(\xi) &= (1-\xi)^3, \\ \phi_m(\xi) &= 1+3(1-\xi)+3(1-\xi)^2-3(1-\xi)^3, \\ \phi_{m+1}(\xi) &= 1+3\xi+3\xi^2-3\xi^3, \\ \phi_{m+2}(\xi) &= \xi^3.\end{aligned}\tag{1.3.1.2}$$

(1.3.1.2) kübik B-spline fonksiyonlardan yararlanarak  $\delta_m$  eleman parametrelerine göre,  $x_m$  düğüm noktasında ki  $U_N$  yaklaşık çözümü ve  $x$  e bağlı ikinci mertebeye kadar ki türevleri

$$\begin{aligned}U_N(x_m, t) &= U_m = \delta_{m-1} + 4\delta_m + \delta_{m+1}, \\ U'_m &= \frac{3}{h}(-\delta_{m-1} + \delta_{m+1}), \\ U''_m &= \frac{6}{h^2}(\delta_{m-1} - 2\delta_m + \delta_{m+1})\end{aligned}\tag{1.3.1.3}$$

şeklindedir [12].



Şekil 1.1. Kübik B-Spline Şekil Fonksiyonları

### 1.3.2. Septik B-Spline Fonksiyonlar

$a = x_0 < x_1 < \dots < x_{N-1} < x_N = b$  ve  $h = x_{m+1} - x_m$ ,  $[a, b]$  kapalı aralığının düzgün bir parçalanışı olmak üzere,  $x_m$  düğüm noktalarında  $m = -3(1)N + 3$  noktaları için  $\phi_m(x)$  septik B-spline fonksiyonlar,

$$\phi_m(x) = \frac{1}{h^7} \begin{cases} (x-x_{m-4})^7 & [x_{m-4}, x_{m-3}] \\ (x-x_{m-4})^7 - 8(x-x_{m-3})^7 & [x_{m-3}, x_{m-2}] \\ (x-x_{m-4})^7 - 8(x-x_{m-3})^7 + 28(x-x_{m-2})^7 & [x_{m-2}, x_{m-1}] \\ (x-x_{m-4})^7 - 8(x-x_{m-3})^7 + 28(x-x_{m-2})^7 - 56(x-x_{m-1})^7 & [x_{m-1}, x_m] \\ (x_{m+4}-x)^7 - 8(x_{m+3}-x)^7 + 28(x_{m+2}-x)^7 - 56(x_{m+1}-x)^7 & [x_m, x_{m+1}] \\ (x_{m+4}-x)^7 - 8(x_{m+3}-x)^7 + 28(x_{m+2}-x)^7 & [x_{m+1}, x_{m+2}] \\ (x_{m+4}-x)^7 - 8(x_{m+3}-x)^7 & [x_{m+2}, x_{m+3}] \\ (x_{m+4}-x)^7 & [x_{m+3}, x_{m+4}] \\ 0 & \text{diğer durumlarda} \end{cases} \quad (1.3.2.1)$$

şeklinde tanımlanır.  $\{\phi_{-3}(x), \phi_{-2}(x), \phi_{-1}(x), \dots, \phi_N(x), \phi_{N+1}(x), \phi_{N+2}(x), \phi_{N+3}(x)\}$  kümesi  $a \leq x \leq b$  aralığında tanımlı olan fonksiyonlar için taban meydana getirir.

Septik B-spline  $\phi_m(x)$  fonksiyonu ve türevleri  $[x_{m-4}, x_{m+4}]$  aralığı dışında sifıra eşittir. Şekil 1.2 de görüleceği üzere her bir  $\phi_m(x)$  septik B-spline fonksiyonu  $[x_{m-4}, x_{m+4}]$  aralığında peş peşe sekiz elemanı kapsar ve dolayısıyla her bir  $[x_m, x_{m+1}]$  sonlu eleman  $\phi_{m-3}, \phi_{m-2}, \phi_{m-1}, \phi_m, \phi_{m+1}, \phi_{m+2}, \phi_{m+3}$  ve  $\phi_{m+4}$  gibi sekiz septik B-spline fonksiyon ile örtülmüş olur.  $\phi_m(x)$  ve altıncı mertebeye kadarki  $\phi_m'(x), \phi_m''(x), \phi_m'''(x), \phi_m^{(iv)}(x), \phi_m^{(v)}$  ve  $\phi_m^{(vi)}$  türevlerinin aldığı değerler aşağıdaki Tablo 1.2 de verilmiştir.

**Tablo 1.2.**  $\phi_m(x), \phi_m'(x), \phi_m''(x), \phi_m'''(x), \phi_m^{(iv)}(x), \phi_m^{(v)}(x)$  ve  $\phi_m^{(vi)}(x)$  in düğüm noktalarında aldığı değerler

$x$	$x_{m-4}$	$x_{m-3}$	$x_{m-2}$	$x_{m-1}$	$x_m$	$x_{m+1}$	$x_{m+2}$	$x_{m+3}$	$x_{m+4}$
$\phi_m$	0	1	120	1191	2416	1191	120	1	0
$h\phi_m'$	0	-7	-392	-1715	0	1715	392	7	0
$h^2\phi_m''$	0	42	1008	630	-3360	630	1008	42	0
$h^3\phi_m'''$	0	-210	-1680	3990	0	-3990	1680	210	0
$h^4\phi_m^{(iv)}$	0	840	0	-7560	13440	-7560	0	840	0
$h^5\phi_m^{(v)}$	0	-2520	10080	-12600	0	12600	-10080	2520	0
$h^6\phi_m^{(vi)}$	0	5040	-30240	75600	-100800	75600	-30240	5040	0

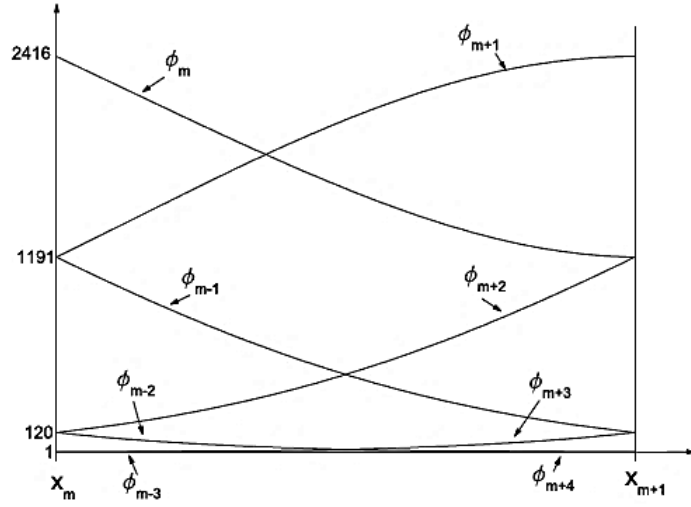
Karakteristik bir  $[x_m, x_{m+1}]$  sonlu eleman  $h\xi = x - x_m, 0 \leq \xi \leq 1$  lokal koordinat dönüşümü ile  $[0, 1]$  aralığına dönüşür. Böylece septik B-spline fonksiyonlar  $[0, 1]$  aralığında  $\xi$  cinsinden aşağıdaki gibi oluşur.

$$\begin{aligned}
\phi_{m-3} &= 1 - 7\xi + 21\xi^2 - 35\xi^3 + 35\xi^4 - 21\xi^5 + 7\xi^6 - \xi^7, \\
\phi_{m-2} &= 120 - 392\xi + 504\xi^2 - 280\xi^3 + 84\xi^5 - 42\xi^6 + 7\xi^7, \\
\phi_{m-1} &= 1191 - 1715\xi + 315\xi^2 + 665\xi^3 - 315\xi^4 - 105\xi^5 + 105\xi^6 - 21\xi^7, \\
\phi_m &= 2416 - 1680\xi + 560\xi^4 - 140\xi^6 + 35\xi^7, \\
\phi_{m+1} &= 1191 + 1715\xi + 315\xi^2 - 665\xi^3 - 315\xi^4 + 105\xi^5 + 105\xi^6 - 35\xi^7, \\
\phi_{m+2} &= 120 + 392\xi + 504\xi^2 + 280\xi^3 - 84\xi^5 - 42\xi^6 + 21\xi^7, \\
\phi_{m+3} &= 1 + 7\xi + 21\xi^2 + 35\xi^3 + 35\xi^4 + 21\xi^5 + 7\xi^6 - \xi^7, \\
\phi_{m+4} &= \xi^7.
\end{aligned} \tag{1.3.2.2}$$

(1.3.2.2) şeklinde verilen septik B-spline fonksiyonlar kullanılarak  $x_m$  düğüm noktasında  $U_N(x, t)$  yaklaşık çözümü ve  $x$  e göre altıncı mertebeye kadarki türevleri  $\delta_m$  eleman parametreleri türünden,

$$\begin{aligned}
U_N(x_m, t) &= U_m = \delta_{m-3} + 120\delta_{m-2} + 1191\delta_{m-1} + 241\delta_m + 1191\delta_{m+1} + 120\delta_{m+2} + \delta_{m+3}, \\
U'_m &= \frac{7}{h}(-\delta_{m-3} - 56\delta_{m-2} - 245\delta_{m-1} + 245\delta_{m+1} + 56\delta_{m+2} + \delta_{m+3}), \\
U''_m &= \frac{42}{h^2}(\delta_{m-3} + 24\delta_{m-2} + 15\delta_{m-1} - 80\delta_m + 15\delta_{m+1} + 24\delta_{m+2} + \delta_{m+3}), \\
U'''_m &= \frac{210}{h^3}(-\delta_{m-3} - 8\delta_{m-2} + 19\delta_{m-1} - 19\delta_{m+1} + 8\delta_{m+2} + \delta_{m+3}), \\
U_m^{(iv)} &= \frac{840}{h^4}(\delta_{m-3} - 9\delta_{m-1} + 16\delta_m - 9\delta_{m+1} + \delta_{m+3}), \\
U_m^{(v)} &= \frac{2520}{h^5}(-\delta_{m-3} + 4\delta_{m-2} - 5\delta_{m-1} + 5\delta_{m+1} - 4\delta_{m+2} + \delta_{m+3}), \\
U_m^{(vi)} &= \frac{5040}{h^6}(\delta_{m-3} - 6\delta_{m-2} + 15\delta_{m-1} - 20\delta_m + 15\delta_{m+1} - 6\delta_{m+2} + \delta_{m+3})
\end{aligned} \tag{1.3.2.3}$$

şeklinde yazılır [8,12].



Şekil 1.2 Septik B-Spline Şekil Fonksiyonları

#### 1.4. Galerkin Yöntemi

Galerkin yöntemi, diferansiyel denklemleri sayısal olarak çözmek için kullanılan yöntemlerden biridir.

$\psi_i$  ağırlık fonksiyonları ,  $\phi_i$  yaklaşım fonksiyonları  $\psi_i = \phi_i$  olarak alındığında Galerkin yönteminin cebirsel ifadesi

$$\sum_{j=1}^N A_{ij} c_j = F_i \quad (1.4.1)$$

biçiminde olup, burada

$$A_{ij} = \int_{\Omega} \phi_i A(\phi_j) dx dy$$

$$F_i = \int_{\Omega} \phi_i [f - A(\phi_0)] dx dy$$

şeklindedir [13].

#### 1.5. Kollokasyon Yöntemi

Kollokasyon yöntemini tanımlamadan önce bu yöntem için yararlanacağımız ağırlıklı kalan yöntemini tanımlamak gerekir. Ağırlıklı kalan yöntemi bir diferansiyel denklemin tam çözümü ile yaklaşık çözümü arasındaki farkın sıfırdan farklı bir ağırlık fonksiyonu ile çarpılması sonucu toplamlarının en küçük elde edilmesi yöntemi olarak ifade edilir.

Ağırlıklı kalan yöntemini ifade etmek için  $\Omega$  bölgesinde,  $A$  lineer ya da lineer olmayan operatör,  $f$  bağımsız değişken,  $u$  bağımlı değişken olmak üzere

$$A(u) = f \quad (1.5.1)$$

operatör denklemleri yazılır.  $u$  çözümü için bir yaklaşım olarak

$$u_N = \sum_{j=1}^N c_j \phi_j + \phi_0 \quad (1.5.2)$$

kullanılır. (1.5.1) denkleminde (1.5.2) ile verilen  $u_N$  yaklaşık çözümü yerine yazıldığında  $f_N = A(u_N)$  elde edilir. Elde edilen bu fonksiyon büyük ihtimalle  $f$  ye eşit değildir.  $A(u_N)$  ile  $f$  fonksiyonu arasındaki fark

$$R = A(u) - f = A\left(\sum_{j=1}^N c_j \phi_j + \phi_0\right) - f \neq 0 \quad (1.5.3)$$

şeklinde yaklaşık kalan (rezidüsü) olarak elde edilir. Burada  $R$  kalan fonksiyonu  $c_j$  parametrelerine bağlı olabileceği gibi konuma da bağlıdır. Ağırlıklı kalan yönteminde  $c_j$  parametreleri ağırlıklı kalan integralindeki  $R$  kalanı sıfır olacak şekilde belirlenir.

$$\int_{\Omega} \psi_i(x, y) R(x, y, c_j) dx dy = 0 \quad (i = 0, 1, 2, \dots, N). \quad (1.5.4)$$

Buradaki  $\Omega$  iki boyutlu bir bölge ve  $\psi_i$  ler ise ağırlıklı kalan fonksiyonları olup (1.5.4) integralinin hesaplanmasıyla elde edilen denklemlerin çözülebilmesi için seçilen  $\psi_i$  ağırlıklı kalan fonksiyonlar kümesi lineer bağımsız olmalıdır. Galerkin, Petrov-Galerkin, Subdomain ve Kollokasyon yöntemi ağırlıklı kalan yöntemlerindedir.

Kollokasyon yöntemi  $\Omega$  çözüm bölgesinden seçilen  $N$  adet  $x^i \equiv (x^i, y^i)$  kollokasyon noktasında sıfır kalanının elde edilmesi için

$$R(x^i, y^i, c_j) = 0, \quad (i = 0, 1, 2, \dots, N) \quad (1.5.5)$$

şeklinde alınmalıdır ve aynı zamanda  $x^i$  kollokasyon noktalarının denklem sistemi iyi şartlı olacak şekilde seçilmelidir. Burada  $\psi_i = \delta(x - x^i)$  alınır ve (1.5.4) denkleminde yerine yazılırsa

$$\int_{\Omega} \delta(x-x^i) R(x, c_j) dx dy = 0 \quad (1.5.6)$$

veya

$$R(x^i, c_j) = 0 \quad (1.5.7)$$

elde edilir. Buradaki  $\delta(x)$  Dirac delta fonksiyonu olmak üzere

$$\int_{\Omega} f(x) \delta(x-\xi) dx dy = f(\xi) \quad (1.5.8)$$

şeklindedir [8,13,14].

### 1.6. BBM-Burgers Denklemi

Sığ su dalgalarının dinamikleri, örneğin Korteweg – de Vries (KdV) denklemi, Benjamin-Bona-Mahony (BBM) denklemi, eşit genişlikli dalga (EW) denklemi, Burgers denklemi, Gardner denklemi, Peregrine denklemi, Kawahara denklemi gibi farklı lineer olmayan denklemleri ile belirtilebilir. Bu denklemler uygulamalı matematik, teorik fizik ve mühendislik bilimlerinde, çeşitli matematiksel ve fiziksel özellikleri ve yapıları nedeniyle çok önemli bir rol oynamaktadırlar. Bu denklemlerin tam çözümlerine genellikle ulaşamaz. Bu denklemlerin sadece sınırlı sınıflarının analitik yollarla çözülmesi nedeniyle, bu doğrusal olmayan kısmi diferansiyel denklemlerin sayısal çözümlerinin davranışlarını fiziksel olarak incelemek daha uygundur. Düzenli uzun dalga (RLW) denklemi olarak bilinen BBM (Benjamin-Bona- Mahony) denklemi,

$$U_t + U_x + aUU_x - bU_{xxt} = 0 \quad (1.6.1)$$

şeklinde olup sığ suda doğrusal olmayan enine dalgalar, soğuk plazmada hidromanyetik dalga, plazmada iyon akustik dalgalar, sıkıştırılabilir sıvılarda akustik yerçekimi dalgaları, sıvı gaz kabarcıklarında basınç dalgaları ve harmonik kristallerde akustik dalgalar gibi çok sayıda fiziksel gelişmeleri yönetebilmek için modellenmiştir. Bu denklemin çözümleri, çarpışmadan sonra formları değişmeyen soliton olarak adlandırılan soliter dalga türleridir. İlk olarak Peregrine [15,16] tarafından bir kanalda su yüzeyinde küçük genlikli uzun dalgaları modellemek için ortaya atılmış olan RLW denklemi Benjamin ve arkadaşları [17] tarafından yaygın olarak incelenmiştir.

Denklemin tam çözümü sınırlı sayıda başlangıç ve sınır koşulları altında elde edildiğinden bu denklemi sayısal olarak çözmek daha ilginç bir hale gelmiştir [18]. Bu nedenle, BBM denkleminin sayısal çözümleri çeşitli birçok çalışmanın konusu olmuştur. BBM denkleminin çözümü için özellikle sonlu farklar [19-21], pseudo (sözde) spektral yöntem [22], ağsız yöntem [23], adomian ayrışım yöntemi [24] ve farklı sonlu eleman yöntemlerini içeren çeşitli sayısal teknikler kullanılmıştır [25-32].

Aslında, lineer olmayan dağıtıcı bir ortamda küçük genlikli uzun dalgaların yayılmasını tanımlamaya çalışırken, genellikle gerçek durumları tamamen yansıtmak için dağıtıcı mekanizmaları dikkate almak gerekir. Çoğunlukla dalganın bozulmasına yol açan mekanizmalar oldukça karmaşıktır ve iyi anlaşılmamıştır. Düzlemsel dalgaların tek yönlü yayılımının modellenmesinde nonlineerlik (lineer olmayanlık) ve dağılım olaylarına ihtiyaç duyulduğundan ortaya çıkan denklemlerden biri BBM-Burgers denklemidir [33]. BBM-Burgers denklemi birçok araştırmacı tarafından sayısal olarak analiz edilmiştir. Y-X Yin ve G.-Rı Piao tarafından BBM-Burgers denkleminin yaklaşık çözümüne zaman değişkenine yönelik bir mekansal değişken bileşik için ikinci dereceden B-spline sonlu eleman yöntemi önerilmektedir [34]. [32,35-39] referanslarında bu denklemin sayısal çözümleri için sırasıyla kuadratik, kübik ve kuartik B-spline kollokasyon yöntemleri verilmiştir.

BBM-Burgers denklemi bir Cauchy problemi olarak ele alındığında bu problemin çözümlerinin asimptotik özellikleri Mei ve Schmeiser tarafından incelenmiştir [40]. C. Kondo ve C. M. Weblere genelleştirilmiş BBM-Burgers denkleminin düzgün çözümlerinin varlığını ve yakınsamasını incelemiştir [41]. Referans [42,43] de denkleme ( $G'/G$ ) genişleme yöntemi uygulanmıştır. A. Mohebbi ve Z. Faraz [44] lineer olmayan BBM-Burgers denkleminin soliter dalga çözümünü yüksek mertebeden lineer sonlu fark şeması kullanarak incelemiştir.

Ganji ve arkadaşları lineer olmayan BBM-Burgers denkleminin sayısal çözümlerini bulmak için lineer ve lineer olmayan sertlik denklemlerine sahip sistemlerin serbest titreşimlerini varyasyonel iterasyon yöntemi ile incelemiştir [45]. B. Hong ve D. Lu [46], genelleştirilmiş perturbe olan Burgers –BBM denklemini yok edici terimle çözmek için Homotopy Perturbasyon Method (HPM) uygulamalarını genişletmişlerdir. Sonlu eleman Galerkin yöntemleri Kadri ve arkadaşları tarafından sunulmuştur [47].



Bir Sinc-Galerkin ve tanh yöntemi geliştirilmiş BBM-Burger denklemine AlQuran ve El-Halit tarafından uygulanmıştır [48]. El-Khaled ve arkadaşları [49] Benjamin-Bona-Mahony-Burgers denklemine yaklaşık bir çözüm bulmak için Adomian ayrıştırma yöntemini kullanmıştır. Maple programı kullanılarak lineer olmayan denklemin sayısal çözümleri Exp fonksiyon yöntemi ile El-Wakil ve arkadaşları tarafından elde edilmiştir [50]. A. Fakhari ve arkadaşları Benjamin-Bona-Mahony-Burgers denklemini (BBM-B) çözmek için Homotopy Analiz Method (HAM) yöntemi geliştirmişlerdir [51].

Matematiksel olarak, her  $[x_m, x_{m+1}]$  aralığında bir kübik  $\phi_m(x)$  fonksiyonu,  $[x_0, x_N]$  aralığında oluşan  $\phi(x)$  parçalı fonksiyonu ve birinci ve ikinci dereceden türevleri  $[x_0, x_N]$  aralığında sürekli olur. Böylelikle kübik spline fonksiyonları, yüksek derecede interpolasyon polinomlarında ortaya çıkan doğal salınımlardan etkilenmezler. Burada birinci dereceden türevin sürekli olması fonksiyonun keskin noktalara sahip olmamasını sağlar, ikinci dereceden türevin sürekliliği  $f$  fonksiyonunun her noktasındaki eğim açısının tanımlanmasını sağlar.

## 2. BÖLÜM

### KÜBİK B-SPLINE FONKSİYONLAR İLE BENJAMİN BONA MAHONY BURGERS DENKLEMİ İÇİN GALERKİN SONLU ELEMANLAR ÇÖZÜMÜ

#### 2.1. Giriş

Tezin bu bölümünde Seydi Battal Gazi Karakoç ve Samir Kumar Bhowmik'in "Galerkin finite element solution for Benjamin-Bona-Mahony-Burgers equation with cubic B-splines" isimli makaleleri ayrıntılı olarak incelenmiştir [52].

Bu makalede, konumsal yaklaşım için kübik B-spline fonksiyonlar kullanılarak lumped Galerkin yöntemi ile lineer olmayan Benjamin-Bona-Mahony-Burgers (BBM-Burgers) denkleminin çözümleri araştırılmış ve bu yöntemin çözümlerinin varlık ve tekliği inşa edilmiştir. Çalışılan yöntem aşağıdaki dört farklı test problemi ile ele alınmıştır;

- Tek bir solitary dalganın yayılımı
- İki solitary dalganın etkileşimi
- Üç solitary dalganın etkileşimi
- Undular bore yayılımı

Nümerik algoritmanın kararlılık analizi Von-Neumann yöntemi ile yapılmıştır. Yöntemin uygulanabilirliği ve etkinliği  $L_2$  ve  $L_\infty$  hata normları ve  $I_1$ ,  $I_2$  ve  $I_3$  değişmezleri ile hem tablo olarak hem de grafik olarak gösterilmiştir. Elde edilen sonuçlardan yöntemimizin lineer olmayan denklemler için oldukça kullanışlı bir yöntem olduğunu kolaylıkla söyleyebiliriz.

#### 2.2. BBM-Burgers Denklemi İçin Galerkin Yöntemi

Doğrusal olmayan ayırıcı ortamlarda küçük genlikli uzun dalgaların bir matematiksel formu;

$$U(x,0) = g(x), \quad a \leq x \leq b, \quad (2.1)$$

başlangıç koşulu ve

$$\begin{aligned}
U(a,t) &= 0, & U(b,t) &= 0, \\
U_x(a,t) &= 0, & U_x(b,t) &= 0, \\
U_{xx}(a,t) &= 0, & U_{xx}(b,t) &= 0, \quad t > 0
\end{aligned} \tag{2.2}$$

sınır koşulları olmak üzere

$$U_t - U_{xxt} - \alpha U_{xx} + \beta U_x + UU_x = 0, \quad a \leq x \leq b, \quad 0 \leq t \leq T, \tag{2.3}$$

BBM-Burgers denklemi ile ifade edilir [33].

Burada  $\alpha$ ,  $\beta$  ile gösterilen pozitif sabitler ve  $U(x,t)$  yatay yönde sıvı hızını temsil eden gerçek değerli bir fonksiyondur. Kübik B-spline Galerkin yöntemi kullanıldığından, problemin çözüm alanının dışında kalan noktalar vardır. Bu nedenle, fonksiyonun kendisinin düğüm değerlerini, hem genel matris formu hem de ilk matris formu için türevlerinin kullanılması gerekmektedir. (2.3) ile verilen denklem, 1972 yılında Benjamin ve arkadaşları [17] tarafından Korteweg-de-Vries (KdV) denkleminin bir gelişimi olarak desteklenen iyi bilinen BBM denklemi (1.6.1) ile ilişkilidir.

(2.3) ile verilen denklem  $\alpha = 0$  için BBM denklemi olarak adlandırılır. BBM – Burgers denklemi, lineer olmayan dağıtıcı etkiler arasında bir denge sağlar, ancak dağılmayı dikkate almaz. (2.3) ile gösterilen denklemin dağıtıcı etkisi ile (1.6.1) ile gösterilen denklemdaki dağıtıcı etki  $-U_{xxt}$  teriminden dolayı aynıdır fakat  $-\alpha U_{xx}$  dağıtıcı terimine bağlı olarak (2.3) denkleminin dağıtıcı etkisi

$$U_t - \alpha U_{xx} + \beta U_x + UU_x = 0 \tag{2.4}$$

ile verilen Burger's denklemi ile aynıdır [37]. (2.3) ile verilen denklem daha basit olarak

$$U_t - \Delta U_t - \alpha \Delta U = \nabla f(U), \tag{2.5}$$

şeklinde ifade edilebilir. Burada

$$f(U) = -\left( \beta U + \frac{1}{2} U^2 \right) \text{ dir.}$$

$H^k(\Omega)$ ,  $k \geq 0$  (tamsayı),  $\Omega$  üzerindeki gerçek değerli fonksiyonların normlu bir uzayı ve

$H_0^k(\Omega) = \{v \in H^k(\Omega) : D^i v = 0, \partial\Omega \text{ üzerinde } i = 0, 1, 2, \dots, k-1\}$  olmak üzere  $D = \frac{\delta}{\delta x}$

olsun.

Bu uzaydaki norm  $H^k$  normu olup  $\|\cdot\|_k$  ile gösterilir ve eğer  $k=0$  olursa,  $(\cdot, \cdot)$  ve  $\|\cdot\|$  gösterimleri sırasıyla  $H^0 = L_2$  iç çarpımını ve  $L_2$  normunu göstermektedir [53].

(2.5) ile verilen denklemi  $\xi \in H_0^1(\Omega)$  olmak üzere  $\Omega$  üzerinde integre eder ve Green formülü uygulanırsa  $U(\cdot, t) \in H_0^1$  elde edilir öyleki;  $U(0) = U_0$  ile birlikte

$$(U_t, \xi) + (\nabla U_t, \nabla \xi) + \alpha(\nabla U, \nabla \xi) = -(f(U), \nabla \xi) \quad (2.6)$$

bulunur.

**Teorem 2.1.**  $U$ , (2.6) ile verilen denklemin bir çözümü ve  $U_0 \in H_0^1$  olsun.

$$\|U\|_1^2 + \alpha \int_0^t \|\nabla U\|^2 ds = \|U_0\|_1^2, \quad t \in (0, T] \text{ ve}$$

$$\|U\|_{L^\infty(L^\infty(\Omega))} \leq C \|U_0\|_1 \text{ olup } C \text{ pozitif bir sabittir.}$$

**İspat:** (2.6) ile verilen denklem göz önüne alındığında ve  $\xi = U$  olarak seçildiğinde  $U(0) = U_0$  olmak üzere

$$(U_t, U) - (\Delta U_t, U) + \alpha(\nabla U, \nabla U) = -(f(U), \nabla U) \quad (2.7)$$

elde edilir. Yani

$$\frac{1}{2} \frac{d}{dt} [\|U\|^2 + \|\nabla U\|^2] = \int_\Omega U [\nabla \cdot f(U)] dx - \alpha \|\nabla U\|^2 \text{ dir.} \quad (2.8)$$

Şimdi  $U \in H_0^1$  ve  $F'(U) = f(U)$  olmak üzere

$$U \nabla \cdot f(U) = \nabla \cdot [f(U)U] - \nabla \cdot [F(U)] \text{ dir. Ayrıca, (2.7) ile verilen denklemdeki}$$

başlangıç koşullarından  $\partial\Omega$  üzerinden  $U = 0$  ve dolayısıyla  $F(0) = 0$  olup

$\int_{\Omega} U [\nabla \cdot f(U)] dx = \int_{\Omega} \nabla (Uf(U)) dx = 0$  elde edilir. Böylece (2.8) ile verilen denklem

$$\frac{1}{2} \frac{d}{dt} (\|U\|_1^2) + \alpha \|\nabla U\|^2 = 0 \text{ olup}$$

$$\|U\|_1^2 + \alpha \int_0^t \|\nabla U\|^2 ds = \|U_0\|_1^2 \text{ olur.}$$

**Teorem 2.2. (Sobolev Gümme Teoremi [53-55])**  $U_0 \in H_0^1$  olmak üzere  $T > 0$  için (2.6) ile verilen denklemin  $U \in L^\infty(0, T, H_0^1(\Omega))$  ve  $(U(x, 0), \xi) = (U_0, \xi), \xi \in H_0^1(\Omega)$  şeklinde bir tek çözümü vardır.

**İspat:**  $H_0^1(\Omega)$  için  $\{w_i\}_{i=1}^\infty$  bir ortogonal baz ve  $V^m = \{w_1, w_2, \dots, w_m\}$  kümesini gersin

$$U^m(t) = \sum_{i=1}^m c_i(t) w_i, \quad U_{0,m} = U^m(0) = \sum_{i=1}^m c_i(0) w_i = P^m U_0, \quad \forall t > 0 \text{ için}$$

$$(U_t^m, \xi) - (\Delta U_t^m, \xi) + \alpha (\nabla U^m, \nabla \xi) = - (f(U^m), \nabla \xi) \quad (2.9)$$

$U^m(0) = U_{0,m}$  ile birlikte sağlar.

$P^m, V^m$  sonlu boyutlu uzay üzerine bir ortogonal izdüşüm ve  $U_{0,m} \rightarrow U_0 \in H_0^1(\Omega)$  dır [53,54]. Bunun sonucu olarak (2.9) ile gösterilen denklem lineer olmayan birinci mertebeden adi diferansiyel denklem sistemi şeklinde yazılabilir ve  $(0, t_m)$  üzerinde  $U^m$  şeklinde bir tek çözüm olacak şekilde pozitif bir  $t_m > 0$  vardır.

Ayrıca **Teorem 2.1** den kolayca görülmektedir ki lineer olmayan sistemin  $(0, t_m)$  üzerinde tek bir  $U^m$  çözümü vardır.

$f(U^m), L^\infty(0, T, L_2(\Omega))$  üzerinde sınırlı olmak üzere

$$\|U^m\|_\infty \leq C \|U_0\|_1 \text{ ve } \|f(U^m)\|^2 \leq C \|U_0\|_1^2 \text{ dır.}$$

Şimdi ise  $\xi = U_t^m$  eşitliği (2.9) ile verilen denklemde yerine yazılırsa

$$(U_t^m, U_t^m) - (\Delta U_t^m, U_t^m) + \alpha (\nabla U^m, \nabla U_t^m) = - (f(U^m), \Delta U_t^m) \text{ elde edilir.}$$

Böylece

$$\|U_t^m\|_1^2 + \alpha(\nabla U^m, \nabla U_t^m) = -(f(U^m), \nabla U_t^m)$$

ve dolayısıyla

$$\|U_t^m\|_1 \leq C\|U_0\|_1 \text{ bulunur.}$$

Buradan hareketle  $\{U^m\}$  ve  $\{U_t^m\}$ ,  $L^\infty(0, T, H_0^1(\Omega))$  üzerinde düzgün sınırlı olduğu görülür. (2.9) ile verilen denklemde  $\xi = w_i$  alınırsa

$$(U_t^m, \omega_i) - (\Delta U_t^m, \omega_i) + \alpha(\nabla U^m, \nabla \omega_i) = -(f(U^m), \nabla \omega_i) \text{ bulunur.}$$

Bu nedenle problemin çözümlerinin varlığı  $H_0^1(\Omega)$  içindeki  $\{w_i\}$  lerin yoğunluğundan elde edilir. Şimdi  $U$  ve  $V$  (2.6) ile verilen denklemin iki çözümü  $W = U - V$  ve  $W(0) = 0$  olsun,

$$\text{Buradan } (W_t^m, \xi) - (\Delta W_t^m, \xi) + \alpha(\nabla W^m, \nabla \xi) = -(f(W^m), \nabla \xi) \text{ bulunur.}$$

$\xi$  ile  $W$  yukarıdaki denklemde yer değiştirirse  $U$  ve  $V$  nin sınırlılığından

$$\frac{d}{dt}\|W\|_1 \leq C\|W\|_1 \text{ ve böylece}$$

$$\|W\|_1 \leq \|W(0)\|_1 + C \int_0^t \|W\|_1 ds \text{ bulunur.}$$

Bu nedenle  $\|W\|_1 \leq e^{Ct} \|W(0)\|_1 = 0$  **Gronwall's Lemmasından**  $W = 0$  bulunur ki bu ise ispatı tamamlar [53,55].

### 2.3. Yarı Ayrık Galerkin Şeması

$S_h$  aşağıdaki özelliğe karşılık gelen  $0 < h < 1$ ,  $H_0^1(\Omega)$  sonlu boyutlu alt uzay olsun.

$U \in H_0^1(\Omega) \cap H^4(\Omega)$  için  $h$  [41-43] den bağımsız bir  $C$  vardır öyle ki

$$\inf_{\xi \in S_h} \|U - \xi\| \leq Ch^4 \text{ dır.} \tag{2.10}$$

(2.3) ile gösterilen denklemin yarı-açık sonlu eleman formülasyonundan  $U_h : [0, T] \rightarrow S_h$  olmak üzere,

$$(U_{ht}, \xi) - (\Delta U_{ht}, \xi) + \alpha (\nabla U_h, \nabla \xi) = -(f(U_h), \nabla \xi), \quad \xi \in S_h \quad (2.11)$$

elde edilir ki burada  $U_h(0) = U_{0,h} \in S_h$ ,  $U_0$  in bir yaklaşımıdır. Orijinal yakınsama sonucunu göstermeden önce ilk olarak (2.11) ile verilen çözümün bir ön sınırlılığı kanıtlanmalıdır.

**Teorem 2.3.** (2.11) ile verilen denklemin çözümü olan  $U_h$  ve  $C$  bir pozitif sabitler olmak üzere

$$\|U_h\|_1^2 + \alpha \int_0^t \|\nabla U_h\|^2 dt = \|U_{0,h}\|_1^2, \quad t \in (0, T]$$

ve

$$\|U_h\|_{L^\infty(L^\infty(\Omega))} \leq C \|U_{0,h}\|_1$$

ifadelerini sağlar.

**İspat:** *İspat*, **Teorem 2.1** in ispatından elde edilir. Şimdi (2.11) ile verilen yarı-ayrık şemanın doğruluğunu inceleyeceğiz.

$$\forall U \text{ ve } V \in H_0^1, \quad A(U, V) = (\nabla U, \nabla V)$$

$$|A(U, V)| \leq M \|U\|_1 \|V\|_1, \quad \forall U, V \in H_0^1 \quad \text{zorlayıcılık özelliği } (\Omega \text{ üzerinden}) \quad (2.12)$$

bazı  $\alpha \in R$  için

$$A(U, U) \geq \alpha \|U\|_1, \quad (\forall U \in H_0^1) \quad \text{sınırlılık özelliğini sağlayan} \quad (2.13)$$

$$\text{burada } A, \quad A\left(U - \tilde{U}, \xi\right) = 0, \quad \xi \in S_h \quad (2.14)$$

eşitliğini sağlar ve  $\tilde{U}$ ,  $U$  nun yardımcı bir izdüşümüdür [53-55]. Şimdi yarı açık şema da hata için bir sınır elde edeceğiz.

**Teorem 2.4.**  $U_h \in S_h$  , (2.11) ile verilen denklemin bir çözümü ve  $U \in H_0^1$  de (2.6) ile verilen denklemin bir çözümü,

$$\|U(0) - U_{0,h}\| \leq Ch^4 \text{ ise bazı } C > 0 \text{ için } \|U - U_h\| \leq Ch^4 \text{ dir.}$$

**İspat.**  $v = U - \tilde{U}$  ve  $\theta = \tilde{U} - U_h$  için hatayı  $e = U - U_h = (U - \tilde{U}) + (\tilde{U} - U_h) = v + \theta$  şeklinde tanımlanır. Şimdi (2.13) ve (2.14) ile verilen denklemden  $\alpha \|U - \tilde{U}\|_1^2 \leq A(U - \tilde{U}, U - \tilde{U}) = A(U - \tilde{U}, U - \xi), \xi \in S_h$  olduğu görülür.

Ayrıca (2.12) ve (2.14) ile verilen denklemler ve referans [55] in

$$\|U - \tilde{U}\|_1 \leq \inf_{\xi \in S_h} \|U - \xi\|_1 \quad (2.15)$$

varlığını garanti eder.

Böylece (2.10) ile (2.15)

$$\|v\|_1 \leq Ch^3 \|U\|_4 \text{ ve } \|v\| \leq Ch^4 \|U\|_4$$

elde edilir. Ayrıca (2.14) ile verilen denklemde  $\frac{\delta}{\delta t}$  i uygulayarak ve yukarıdaki gibi

benzer adımları izleyerek [55]

$$\|v_t\| \leq Ch^4 \|U_t\|_4$$

elde edilir.

Şimdi (2.6) ile verilen denklemden (2.11) ile verilen denklem çıkarılırsa,

$$(\theta_t, \xi) + (\nabla \theta_t, \nabla \xi) + \alpha (\nabla \theta, \nabla \xi) = -(v_t, \xi) - (f(U) - f(U_h), \nabla \xi)$$

elde edilir.

Böylelikle yukarıdaki denklemde  $\xi = \theta$  yazılır ve Cauchy-Schwarz eşitsizliği uygulanırsa

$$\frac{1}{2} \frac{d}{dt} \|\theta\|_1^2 + \alpha \|\nabla \theta\|^2 \leq \|v_t\| \|\theta\| + \|f(U) - f(U_h)\| \|\nabla \theta\|$$

bulunur.



Şimdi Lipschitz koşulları  $U$  ve  $U_h$  sınırlılığına uygulanırsa

$$\|f(U) - f(U_h)\| \leq C(\|v\| + \|\theta\|) \quad \text{ve böylece}$$

$$\frac{d}{dt} \|\theta\|_1^2 \leq C(\|v_t\|^2 + \|v\|^2 + \|\theta\|^2 + \|\nabla \theta\|^2)$$

elde edilir. Buradan

$$\|\theta\|_1^2 \leq \|\theta(0)\|_1^2 + C \int_0^t (\|v_t\|^2 + \|v\|^2 + \|\theta\|^2 + \|\nabla \theta\|^2) dt$$

eşitsizliği bulunur.

Şimdi  $\theta(0) = 0$ ,

$v$  ve  $v_t$  sınırları için **Gronwall's Lemması** uygulanırsa  $\|\theta\|_1 \leq C(U)h^4$  elde edilir ki buda ispatı tamamlar [53-55].

#### 2.4. BBM-Burgers Denklemini için Galerkin Yönteminin Uygulanışı

Bu bölümde, bilgisayar uygulamasını ayrıntılı olarak göstermek için sonlu eleman denklemlerinin oluşturulmasında yer alan hesaplamalar gösterilmiştir.

$a \leq x \leq b$  tanım kümesi üzerinde çözüm elde etmek için aralık  $a = x_0 < x_1 < \dots < x_N = b$

ile  $h = \frac{b-a}{N}$  ve  $x_i = a + ih$ ,  $N$  tane alt aralığa bölünür.

Aşağıdaki  $\phi_m(x)$ ,  $(m = -1(1)N + 1)$ , kübik B-spline fonksiyonlar  $[a, b]$  aralığı üzerinde

ki  $x_m$  noktalarında

$$\phi_m(x) = \frac{1}{h^3} \begin{cases} (x - x_{m-2})^3 & x \in [x_{m-2}, x_{m-1}), \\ h^3 + 3h^2(x - x_{m-1}) + 3h(x - x_{m-1})^2 - 3(x - x_{m-1})^3 & x \in [x_{m-1}, x_m), \\ h^3 + 3h^2(x_{m+1} - x) + 3h(x_{m+1} - x)^2 - 3(x_{m+1} - x)^3 & x \in [x_m, x_{m+1}), \\ (x_{m+2} - x)^3 & x \in [x_{m+1}, x_{m+2}), \\ 0 & \text{aksi takdirde} \end{cases} \quad (2.16)$$

şeklinde tanımlanır [12].

Şekil 1.1 de  $[x_m, x_{m+1}]$  aralığında kübik B –spline fonksiyonunun grafiği gösterilmiştir.

$U_N(x, t)$  genel bir yaklaşımla kübik B –spline fonksiyonu aşağıdaki gibi ifade edilir.

$$U_N(x, t) = \sum_{j=-1}^{N+1} \phi_j(x) \delta_j(t), \quad (2.17)$$

burada  $\delta_j(t)$  parametreleri, sınır ve ağırlıklı kalan koşullar kullanılarak elde edilir.

$[x_m, x_{m+1}]$  aralığında her bir eleman için ,  $h_\eta = x - x_m$  ( $0 \leq \eta \leq 1$ ) lokal koordinat dönüşümü uygulanırsa (2.16) ile verilen kübik B-spline fonksiyonlar  $\eta$  cinsinden

$$\begin{aligned} \phi_{m-1} &= (1-\eta)^3, \\ \phi_m &= 1+3(1-\eta)+3(1-\eta)^2-3(1-\eta)^3, \\ \phi_{m+1} &= 1+3\eta+3\eta^2-3\eta^3, \\ \phi_{m+2} &= \eta^3 \end{aligned} \quad (2.18)$$

şeklinde elde edilir.

$\phi_{m-1}(x)$ ,  $\phi_m(x)$ ,  $\phi_{m+1}(x)$ ,  $\phi_{m+2}(x)$  dışındaki kübik B-spline fonksiyonlar ve türevleri  $[0,1]$  bölgesi dışında sıfırdır. Bu yüzden (2.17) ile verilen yaklaşım fonksiyonu  $\delta_{m-1}$ ,  $\delta_m$ ,  $\delta_{m+1}$ ,  $\delta_{m+2}$  eleman parametreleri ve  $\phi_{m-1}(x)$ ,  $\phi_m(x)$ ,  $\phi_{m+1}(x)$ ,  $\phi_{m+2}(x)$  B-spline eleman fonksiyonları  $[0,1]$  aralığında aşağıdaki gibi verilir:

$$U_N(\eta, t) = \sum_{j=m-1}^{m+2} \delta_j \phi_j \quad (2.19)$$

(2.18) ile (2.19) eşitlikleri kullanıldığında  $U_m$  düğüm değerlerinin yaklaşık değerleri ile birinci ve ikinci mertebeden türevleri

$$\begin{aligned} U_m &= U(x_m) = \delta_{m-1} + 4\delta_m + \delta_{m+1}, \\ U'_m &= U'(x_m) = 3(-\delta_{m-1} + \delta_{m+1}), \\ U''_m &= U''(x_m) = 6(\delta_{m-1} - 2\delta_m + \delta_{m+1}) \end{aligned} \quad (2.20)$$

biçiminde elde edilir.

$W(x)$  ağırlık fonksiyonu olarak düşünülürse ve (2.3) ile verilen denkleme Galerkin metodu uygulanırsa

$$\int_a^b W(U_t - U_{xxt} - \alpha U_{xx} + \beta U_x + UU_x) dx = 0, \quad (2.21)$$

(2.3) ile verilen denklemin zayıf formülasyonuna ulaşılır.

Galerkin metodunda  $W(x)$  ağırlık fonksiyonu yaklaşık fonksiyon ile aynı seçildiğinden ve ayrıca yaklaşık fonksiyonlar B-spline fonksiyonlar olduğundan ağırlık fonksiyonunun düzgünlüğü garanti edilmiş olur. (2.21) ile verilen denklemden  $h\eta = x - x_m$  dönüşümü kullanılırsa

$$\int_0^1 W \left( U_t - \frac{1}{h^2} U_{\eta\eta t} - \frac{\alpha}{h^2} U_{\eta\eta} + \frac{\beta}{h} U_\eta + \frac{1}{h} \hat{U} U_\eta \right) d\eta = 0, \quad (2.22)$$

denklemini elde edilir.

$\hat{U}$ , (2.22) ile verilen integrali alınacak şekilde bir sabittir. (2.22) ile verilen denkleme kısmi integral uygulanırsa aşağıdaki denklem elde edilir.

$$\int_0^1 \left[ W \left( U_t + \frac{(\beta + \lambda)}{h} U_\eta \right) + \xi W_\eta U_\eta + \rho W_\eta U_{\eta t} \right] d\eta = \alpha W U_\eta \Big|_0^1 + W U_{\eta t} \Big|_0^1 \quad \text{bulunur ki} \quad (2.23)$$

burada  $\lambda = \hat{U}$ ,  $\rho = \frac{1}{h^2}$  ve  $\xi = \frac{\alpha}{h^2}$  dir. (2.18) ile gösterilen denklemde ağırlık fonksiyonu olarak kübik B-spline fonksiyonlar seçilir ve (2.23) ile gösterilen integral denkleminde kullanılır ve bazı ara işlemler yapıldığında aşağıdaki denklem elde edilir.

$$\sum_{j=m-1}^{m+2} \left[ \left( \int_0^1 \phi_i \phi_j + \rho \phi_i' \phi_j' \right) d\eta - \phi_i \phi_j \Big|_0^1 \right] \delta_j^e + \sum_{j=m-1}^{m+2} \int_0^1 \left[ \left( \frac{(\beta + \lambda)}{h} \phi_i \phi_j + \xi \phi_i' \phi_j' \right) d\eta - \alpha \phi_i \phi_j \Big|_0^1 \right] \delta_j^e = 0 \quad (2.24)$$

burada  $\delta^e = (\delta_{m-1}, \delta_m, \delta_{m+1}, \delta_{m+2})^T$  ve  $\delta$  nın üzerindeki nokta  $t$  ye göre türevi göstermektedir.

$$\left[ A^e + \rho B^e - C^e \right] \delta^e + \left( \frac{(\beta + \lambda)}{h} D^e + \xi B^e - \alpha C^e \right) \delta^e = 0, \quad (2.25)$$

eleman denklemini göz önüne alındığında eleman matrisleri

$$A_{ij}^e = \int_0^1 \phi_i \phi_j d\eta = \frac{1}{140} \begin{bmatrix} 20 & 129 & 60 & 1 \\ 129 & 1188 & 933 & 60 \\ 60 & 933 & 1188 & 129 \\ 1 & 60 & 129 & 20 \end{bmatrix}$$

$$B_{ij}^e = \int_0^1 \phi_i' \phi_j' d\eta = \frac{1}{10} \begin{bmatrix} 18 & 21 & -36 & -3 \\ 21 & 102 & -87 & -36 \\ -36 & -87 & 102 & 21 \\ -3 & -36 & 21 & 18 \end{bmatrix}$$

$$C_{ij}^e = \phi_i \phi_j' \Big|_0^1 = 3 \begin{bmatrix} 1 & 0 & -1 & 0 \\ 4 & -1 & -4 & 1 \\ 1 & -4 & -1 & 4 \\ 0 & -1 & 0 & 1 \end{bmatrix}$$

$$D_{ij}^e = \int_0^1 \phi_i \phi_j' d\eta = \frac{1}{20} \begin{bmatrix} -10 & -9 & 18 & 1 \\ -71 & -150 & 183 & 38 \\ -38 & -183 & 150 & 71 \\ -1 & -18 & 9 & 10 \end{bmatrix}$$

şeklinde olup  $i$  ve  $j$  alt indisleri  $i, j = m-1, m, m+1, m+2$  biçimindedir.

$$\lambda = \frac{1}{4h} (\delta_{m-1} + 5\delta_m + 5\delta_{m+1} + \delta_{m+2})^2 \text{ ifadesinde } U \text{ için bir lumped değer } \frac{(U_m + U_{m+1})^2}{4}$$

den elde edilir.

Tüm eleman denklemleri birleştirildiğinde (2.25) ile verilen bir eleman denklemi

$$[A + \rho B - c] \dot{\delta} + \left( \frac{(1+\lambda)}{h} D + \rho B - C \right) \delta = 0 \quad (2.26)$$

şeklinde genel bir matris denklemine dönüşür.

Burada  $\delta = (\delta_{-1}, \delta_0, \dots, \delta_N, \delta_{N+1})^T$  genel eleman parametreleri ve  $\alpha = \beta = 1$   $\rho = \xi = \frac{1}{h^2}$

dir. Bu yöntemde öncelikle  $[x_m, x_{m+1}]$  aralığında çalışıldı. Dolayısıyla bu aralık için

$A^e, B^e, C^e$  ve  $D^e$  eleman matrisleri bulundu. Burada “ $e$ ”,  $[x_m, x_{m+1}]$  aralığındaki

eleman matrisleri temsil etmektedir.

Daha sonra  $[a, b]$  aralığında denklemin çözümü elde edildi. İşte bu yüzden  $[a, b]$  aralığında eleman matrislerinin tamamı eklenmelidir. Sonra  $A, B, C$  ve  $D$  genel matrisleri bulundu.  $A, B, C$  ve  $\lambda D$  matrisleri septa-diagonaldır ve onların her birinin  $m$ . satırı aşağıdaki gibidir:

$$A = \frac{1}{140}(1, 120, 1191, 2416, 1191, 120, 1), \quad B = \frac{1}{10}(-3, -72, -45, 240, -45, -72, -3),$$

$$C = (0, 0, 0, 0, 0, 0, 0), \quad D = \frac{1}{20}(-1, -56, -245, 0, 245, 56, 1),$$

$$\lambda D = \frac{1}{20} \begin{pmatrix} -\lambda_1, -18\lambda_1 - 38\lambda_2, 9\lambda_1 - 183\lambda_2 - 71\lambda_3, 10\lambda_1 + 150\lambda_2 - 150\lambda_3 - 10\lambda_4, \\ 71\lambda_2 + 183\lambda_3 - 9\lambda_4, 38\lambda_3 + 18\lambda_4, \lambda_4 \end{pmatrix}$$

olup

$$\lambda_1 = \frac{1}{4h}(\delta_{m-2} + 5\delta_{m-1} + 5\delta_m + \delta_{m+1})^2, \quad \lambda_2 = \frac{1}{4h}(\delta_{m-1} + 5\delta_m + 5\delta_{m+1} + \delta_{m+2})^2,$$

$$\lambda_3 = \frac{1}{4h}(\delta_m + 5\delta_{m+1} + 5\delta_{m+2} + \delta_{m+3})^2, \quad \lambda_4 = \frac{1}{4h}(\delta_{m+1} + 5\delta_{m+2} + 5\delta_{m+3} + \delta_{m+4})^2 \text{ dir.}$$

$\dot{\delta} = \frac{\delta^{n+1} - \delta^n}{\Delta t}$  ileri sonlu fark yaklaşımı ve  $\delta = \frac{1}{2}(\delta^n + \delta^{n+1})$  Crank-Nicolson

formülünün denklem (2.26) ye uygulanması ile aşağıdaki septa-diyagonal matris sistemi

$$\left[ A + \rho B - C + \left( \frac{(1+\lambda)}{h} D + \rho B - C \right) \frac{\Delta t}{2} \right] \delta^{n+1} = \left[ A + \rho B - C - \left( \frac{(1+\lambda)}{h} D + \rho B - C \right) \frac{\Delta t}{2} \right] \delta^n \quad (2.27)$$

elde edilir.

Sistem (2.27),  $(N+1)$  tane doğrusal denklem ve  $(\delta_{-3}, \delta_{-2}, \delta_{-1}, \dots, \delta_{N+1}, \delta_{N+2}, \delta_{N+3})$

şeklinde  $(N+7)$  tane de bilinmeyen katsayı içerir. Bu sistem için tek bir çözüm elde

etmek için altı ek şarta ihtiyacımız vardır. (2.2) ile verilen sınır koşulları kullanılırsa

(2.27) ile verilen sistemden  $\delta_{-3}, \delta_{-2}, \delta_{-1}, \dots, \delta_{N+1}, \delta_{N+2}, \delta_{N+3}$  bilinmeyenler yok edilerek

$(N+1) \times (N+1)$  matris sistemi elde edilir. Ortaya çıkan sistem Thomas algoritması

kullanılarak etkili bir şekilde çözülür. Çözüm sürecinde, doğrusal olmayışı azaltmak için

her seferinde  $\delta^{n*} = \delta^n + \frac{1}{2}(\delta^n - \delta^{n-1})$  şeklindeki iç iterasyon iki veya üç defa uygulanır.

Böylece (2.27) ile verilen denklem sisteminde  $\delta^{n+1}$  ve  $\delta^n$  parametrelerine göre  $n$  ve  $n+1$  gibi iki ardışık zaman arasında ki yineleme bağıntısı

$$\begin{aligned} \gamma_1 \delta_{m-3}^{n+1} + \gamma_2 \delta_{m-2}^{n+1} + \gamma_3 \delta_{m-1}^{n+1} + \gamma_4 \delta_m^{n+1} + \gamma_5 \delta_{m+1}^{n+1} + \gamma_6 \delta_{m+2}^{n+1} + \gamma_7 \delta_{m+3}^{n+1} = \\ \gamma_7 \delta_{m-3}^n + \gamma_6 \delta_{m-2}^n + \gamma_5 \delta_{m-1}^n + \gamma_4 \delta_m^n + \gamma_3 \delta_{m+1}^n + \gamma_2 \delta_{m+2}^n + \gamma_1 \delta_{m+3}^n, \end{aligned} \quad (2.28)$$

şeklinde olup burada

$$\begin{aligned} \gamma_1 &= \frac{1}{140} - \frac{3\rho}{10} - \left( \frac{(1+\lambda)}{20h} + \frac{3\rho}{10} \right) \frac{\Delta t}{2}, \quad \gamma_2 = \frac{120}{140} - \frac{72\rho}{10} - \left( \frac{56(1+\lambda)}{20h} + \frac{72\rho}{10} \right) \frac{\Delta t}{2}, \\ \gamma_3 &= \frac{1191}{140} - \frac{45\rho}{10} - \left( \frac{245(1+\lambda)}{20h} + \frac{45\rho}{10} \right) \frac{\Delta t}{2}, \quad \gamma_4 = \frac{2416}{140} + \frac{240\rho}{10}, \\ \gamma_5 &= \frac{1191}{140} - \frac{45\rho}{10} + \left( \frac{245(1+\lambda)}{20h} - \frac{45\rho}{10} \right) \frac{\Delta t}{2}, \quad \gamma_6 = \frac{120}{140} - \frac{72\rho}{10} + \left( \frac{56(1+\lambda)}{20h} - \frac{72\rho}{10} \right) \frac{\Delta t}{2}, \\ \gamma_7 &= \frac{1}{140} - \frac{3\rho}{10} + \left( \frac{(1+\lambda)}{20h} - \frac{3\rho}{10} \right) \frac{\Delta t}{2} \text{ dir.} \end{aligned}$$

İterasyona başlamak için, başlangıç vektörü olan  $\delta^0$  başlangıç ve sınır koşulları kullanılarak hesaplanır. Bu nedenle,  $m = 0, 1, 2, \dots, N$  olmak üzere düğüm noktalarında

$U_N(x_m, 0) = U(x_m, 0)$ , ve  $U'_N(x_0, 0) = U'(x_N, 0) = 0$  eşitlikleri kullanılarak, başlangıç vektör  $\delta^0$  aşağıdaki matris formundan

$$\begin{bmatrix} -3 & 0 & 3 & & & \\ 1 & 4 & 1 & & & \\ & & & \ddots & & \\ & & & & 1 & 4 & 1 \\ & & & & -3 & 0 & 3 \end{bmatrix} \begin{bmatrix} \delta_{-1}^0 \\ \delta_0^0 \\ \vdots \\ \delta_N^0 \\ \delta_{N+1}^0 \end{bmatrix} = \begin{bmatrix} 0 \\ U(x_0, 0) \\ \vdots \\ U(x_N, 0) \\ 0 \end{bmatrix} \quad \text{kolayca bulunur.}$$

## 2.5. Kararlılık Analizi

Sayısal şemanın lineer kararlılığını araştırmak için, Von-Neumann yaklaşımına dayalı olarak Fourier metodu kullanılmıştır. (2.3) ile verilen BBM-Burgers denkleminin lineer olmayan  $UU_x$  terimindeki  $U$  ifadesi lokal olarak sabit olduğu kabul edilmiştir.

$k$  mod numarası ve  $h$  eleman büyüklüğü olmak üzere  $\delta_j^n = g^n e^{ijkh}$  ( $i = \sqrt{-1}$ ) Fourier açılımı (2.28) ile verilen şemada kullanılırsa büyüme faktörü olan  $g$ ,

$$g = \frac{a - ib}{a + ib} \quad (2.29)$$

eşitliğinden elde edilir.

Burada

$$\begin{aligned} a &= (\gamma_7 + \gamma_1) \cos(3kh) + (\gamma_6 + \gamma_2) \cos(2kh) + (\gamma_5 + \gamma_3) \cos(kh) + \gamma_4, \\ b &= (\gamma_7 - \gamma_1) \sin(3kh) + (\gamma_6 - \gamma_2) \sin(2kh) + (\gamma_5 - \gamma_3) \sin(kh) \end{aligned} \quad (2.30)$$

olup  $|g| = 1$  dir. Bu ise lineerleştirilmiş şemanın koşulsuz olarak kararlı olduğunu göstermektedir.

## 2.6. Sayısal Örnekler ve Sonuçlar

Bu bölümde, tek bir dalganın yayılması, iki ve üç tek dalganın etkileşimi ve undular bore dalgalarının yayılımı gibi dört test problemi önerilen algoritmanın yeterliliğini göstermek için çözülmüştür. Tek dalgaların konumlarını ve genliklerini belirleyebilmek için  $L_2$  ve  $L_\infty$  hata normları

$$L_2 = \|U^{tam} - U_N\|_2 \simeq \sqrt{h \sum_{j=0}^N |U_j^{tam} - (U_N)_j|^2},$$

$$L_\infty = \|U^{tam} - U_N\|_\infty \simeq \max_j |U_j^{tam} - (U_N)_j|,$$

şeklinde tanımlanır. BBM-Burgers denklemi,

$$I_1 = \int_a^b U(x, t) dx,$$

$$I_2 = \int_a^b [U^2(x, t) + U_x^2(x, t)] dx, \quad (2.31)$$

$$I_3 = \int_a^b [U^3(x, t) + 3U^2(x, t)] dx,$$

şeklinde sırasıyla kütle, momentum ve enerjiye karşılık gelen üç tane değişmeze sahiptir.

### 2.6.1. Tek Bir Solitary Dalganın Yayılımı

Algoritmamızın doğruluğunu ve yeterliliğini doğrulamak için sayısal hesaplamalarda iki durum göz önüne alınmıştır.

#### 1. Durum

Bu durumda giriş bölümünde de ifade edildiği gibi (2.3) ile verilen BBM-Burgers denkleminin  $\alpha=0$  ve  $\beta=1$  için elde edilen (1.6.1) ile verilen BBM denkleminin bazı sayısal sonuçları verilmiştir. (1.6.1) ile verilen BBM denklemi  $U \rightarrow 0$  iken  $x \rightarrow \pm\infty$  sınır şartları ve

$$U(x,0) = 3c \operatorname{sech}^2[k(x-x_0)] \quad (2.32)$$

başlangıç şartıyla ele alınmıştır. Bu problemin tam çözümü

$$U(x,t) = 3c \operatorname{sech}^2[k(x-x_0-vt)] \quad (2.33)$$

şeklinde olup burada  $v = 1 + \varepsilon c$  dalga hızı ve  $k = \frac{1}{2} \sqrt{\frac{\varepsilon c}{\mu(1 + \varepsilon c)}}$  dır. Bu denklem,  $1 + \varepsilon c$

sabit hızlı ve başlangıçta  $x_0$  merkezli,  $3c$  genişliğindeki bir tek solitonu simgeler. Daha önceki çalışmalarla uyumlu olması için parametreler  $[-40,60]$  aralığında ilk olarak  $c = h = \Delta t = 0.1$  ve ikinci olarak  $c = 0.03$ ,  $h = \Delta t = 0.1$  şeklinde alınmıştır. Değişmezlerin tam değerleri  $c = 0.1$  için  $l_1 = 3.9799497$ ,  $l_2 = 0.81046249$ ,  $l_3 = 2.579007$  ve  $c = 0.03$  için  $l_1 = 2.1094074$ ,  $l_2 = 0.127302$ ,  $l_3 = 0.388806$  şeklindedir. Hesaplamalar hata normlarının ve değişmezlerin değerlerini bulmak için  $t=20$  zamanına kadar yapılmıştır.  $c$  nin farklı değerleri için elde edilmiş olan veriler Tablo 2.1 ve 2.2 de gösterilmiştir. Bu tablolar açık bir şekilde göstermektedir ki metodumuzla elde edilen hata normları diğerlerinden daha az ve değişmezlerimiz artan zaman adımlarında hemen hemen sabit kalmıştır. Tablolardan  $c=1$  olduğunda  $l_2$  değişmezinin değişimi sıfır iken  $l_1$ ,  $l_3$  değişmezleride sırasıyla  $4.54 \times 10^{-5}$ ,  $1 \times 10^{-7}$  den



daha az deđiřtiđi grlrken,  $c=0.03$  iin  $l_1, l_2, l_3$  deđiřmezler sırasıyla  $2.42 \times 10^{-3}$ ,  $1 \times 10^{-7}$  ve  $1.8 \times 10^{-6}$  den daha az olduđu grlr. Ayrıca elde edilen deđiřmezlerin deđerlerinin tam deđerleriyle uyumlu olduđu sylenebilir.

$L_2$  ve  $L_\infty$  hata normları bilgisayarın alıřması sresince yeterince kk olduđundan metodumuzun bu denklem iin olduka uygun olduđunu syleyebiliriz.

řekil 2.1 (a) ve (b),  $t = 0, 5, 10, 15$  ve 20 deki zmleri gstermektedir. Grldđ zere tek soliton dalga sabit hızla sađa dođru hareket etmekte ve beklendiđi gibi genliđini ve řeklini artan zaman adımlarında korumaktadır.

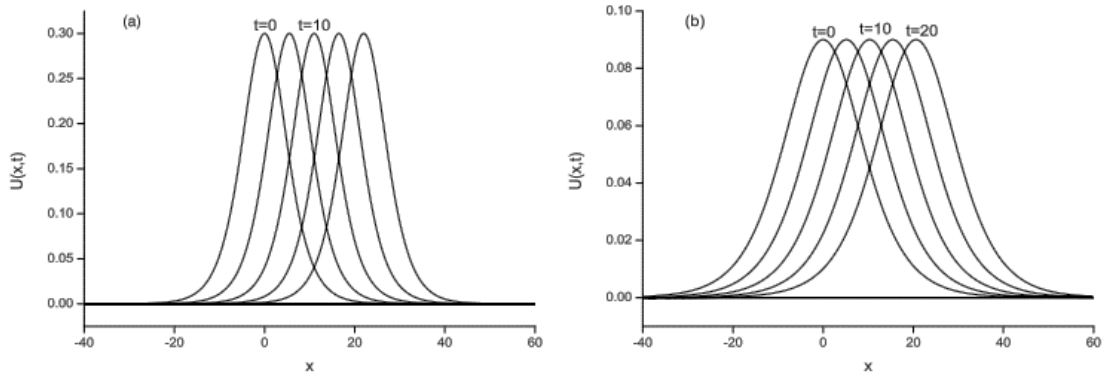
İlk olarak  $c=0.1$  iin tek dalganın genliđi 0.3000000 olup en yksek pozisyonu  $x=0$  da alır.  $t=20$  zamanında tek dalganın en yksek deđeri  $x=22$  konumunda 0.2999745 iken  $c=0.03$  iin  $x=0$  konumunda solitary dalganın genliđi 0.0900000 olup  $t=20$  zamanında  $x=20.6$  konumundaki genliđi ise 0.0899994 dir. Dolayısıyla  $[0, 20]$  zaman aralıđındaki genliklerin mutlak farkı sırasıyla  $2.55 \times 10^{-5}$  ve  $6 \times 10^{-7}$  olarak belirlenir. Farklı zaman adımlarındaki hataların dađılımları řekil 2.2 (a) ve (b) de sırasıyla  $c = 0.1$  ve  $c = 0.03$  iin resmedilmiřtir. Hataların dađılımı  $c = 0.1$  iin  $-8 \times 10^{-5}$  ile  $1 \times 10^{-4}$  aralıđında gerekleřirken  $c = 0.03$  iin  $-5 \times 10^{-4}$  ile 0 arasında gerekleřir.

**Tablo 2.1.**  $c = h = \Delta t = 0.1$ ,  $[-40, 60]$  parametreleri için tek solitary dalğanın farklı zaman adımlarında elde edilen değışmezleri ve hata normları

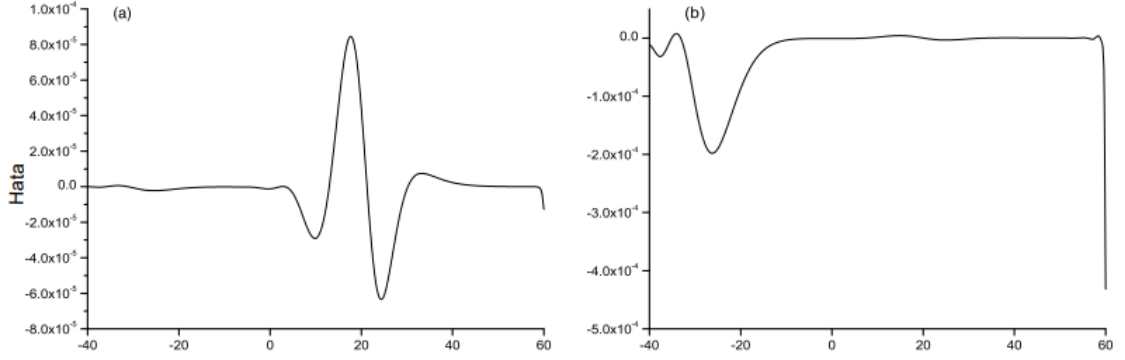
Metod	Zaman	$I_1$	$I_2$	$I_3$	$L_2 \times 10^3$	$L_\infty \times 10^3$
Galerkin Kübik	0	3.9799274	0.8104627	2.5790082	0	0
	4	3.9799294	0.8104627	2.5790082	0.04746117	0.01883838
	8	3.9799277	0.8104627	2.5790083	0.09291081	0.03788379
	12	3.9799250	0.8104627	2.5790083	0.13646954	0.05534971
	16	3.9799164	0.8104627	2.5790083	0.17731501	0.07064983
	20	3.9798820	0.8104627	2.5790083	0.21615477	0.08455837
	$h = 0.05$	20	3.9798786	0.8104621	2.5790061	0.21976198
$h = 0.02$	20	3.9798711	0.8104625	2.5790074	0.18980947	0.07536858
Galerkin kuadratik ( $h = 0.1$ )[25]	20	3.97989	0.810467	2.57902	0.220	0.086
Sonlu fark ( $h = 0.1$ )[25]	20	4.41219	0.897342	2.85361	196.1	67.35
[26]	20	3.98203	0.808650	2.57302	4.688	1.755
[27]	20	3.96160	0.804185	2.55829	0.018	1.566
[28]	20	3.98206	0.811164	2.58133	0.511	1.566
[29]	20	3.97988	0.810276	2.57839	0.30	0.116
[31]	20	3.97988	0.810465	2.57901	0.219	0.086
[35]	20	3.97988	0.810461	2.579	0.307172	0.117734
[37]	20	–	–	–	0.20	0.078

**Tablo 2.2.**  $c = 0.03$ ,  $h = 0.1$ ,  $\Delta t = 0.1$ ,  $[-40,60]$  parametreleri için tek solitary dalganın farklı zaman adımlarında elde edilen değişmezleri ve hata normları

Metod	Zaman	$I_1$	$I_2$	$I_3$	$L_2 \times 10^3$	$L_\infty \times 10^3$
Galerkin Kübik	0	2.1070056	0.1273011	0.3888039	0	0
	4	2.1070945	0.1273011	0.3888039	0.41223571	0.23007703
	8	2.1068929	0.1273011	0.3888039	0.51129322	0.22109032
	12	2.1065433	0.1273011	0.3888038	0.53606374	0.21259643
	16	2.1059147	0.1273011	0.3888035	0.54486046	0.21388435
	20	2.1045802	0.1273010	0.3888021	0.56955440	0.43153939
$h = 0.05$	20	2.1045976	0.1273009	0.3888018	0.56031080	0.43158143
$h = 0.125$	20	2.1045743	0.1273010	0.3888022	0.57426343	0.43151165
[35]	20	2.10460	0.127302	0.388802	0.562458	0.431512
[36]	20	–	–	–	9.40151	3.54203



**Şekil 2.1.** Tek solitary dalganın (a)  $c = h = \Delta t = 0,1$  (b)  $c = 0,03$ ,  $h = \Delta t = 0,1$  parametreleri için  $-40 \leq x \leq 60$  aralığında  $t = 0, 5, 10, 15$  ve  $20$  zaman adımlarında ki hareketi



**Şekil 2.2.** Tek solitary dalganın (a)  $c = h = \Delta t = 0,1$  (b)  $c = 0,03, h = \Delta t = 0,1$  parametreleri için  $-40 \leq x \leq 60$  aralığında  $t = 20$  zaman adımıdaki hata dağılımları

## 2. Durum

Bu kısımda (1.6.1) ile verilen denklem  $U \rightarrow 0$  iken ve  $x \rightarrow \pm\infty$  sınır koşulları ve

$$U(x,0) = \text{sech}^2\left[\frac{x}{4}\right] \quad (2.34)$$

başlangıç koşulu altında incelenmiştir. Bu durumda problemin tam çözümü

$$U(x,t) = \text{sech}^2\left[\frac{x-t}{4}\right] \quad (2.35)$$

şeklindedir.

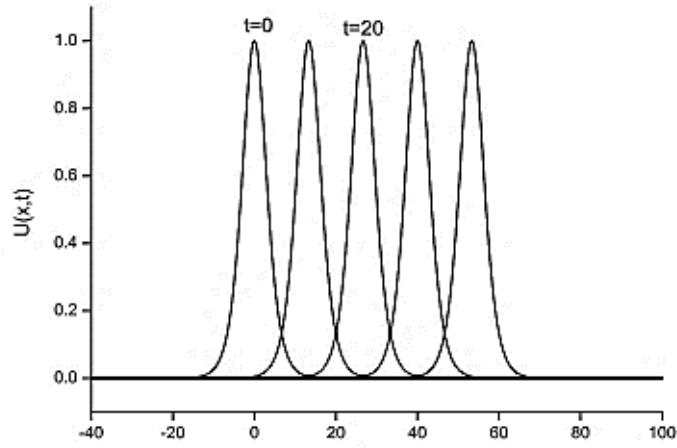
Hesaplamalar farklı konum ve zaman adımları seçilerek  $[-40,100]$  aralığında  $t = 40$  zamanına kadar yapılmıştır. Daha önceki yöntemlerle karşılaştırma yapabilmek için  $L_2, L_\infty$  hata normları ile  $l_1, l_2, l_3$  değişmezlerinin değerleri hesaplanarak Tablo 2.3 te gösterilmiştir. Yöntemimiz ile elde edilen hata normlarının diğerlerinden daha az olduğu ve değişmezlerin zaman arttıkça neredeyse sabit kaldığı Tablo 2.3 ten açık bir şekilde görülmektedir.

Tablodan  $l_1, l_2, l_3$  değişmezlerinin sırasıyla  $1 \times 10^{-6}, 3.5 \times 10^{-5}$  ve  $3 \times 10^{-4}$  den daha az değiştiği açık bir şekilde görülmektedir. Ayrıca değişmezlerin değerlerindeki değişiklikler tam çözümündeki değerleriyle örtüşmektedir. Ayrıca programın çalışması boyunca  $L_2$  ve  $L_\infty$  hata normlarının değerleri oldukça küçük olarak bulunmuştur.

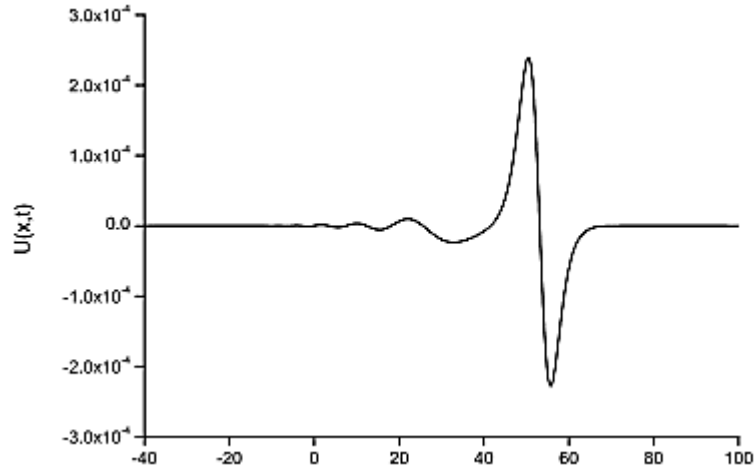
Dolayısıyla yöntemimizin bu denklem için oldukça uygun olduğunu söyleyebiliriz.  $t=0, 10, 20, 30$  ve  $40$  daki çözümler Şekil 2.3 te gösterilmiştir. Beklendiği gibi tek soliton dalgalar sabit bir hızla sağa doğru ilerlemekte ve artan zamanla birlikte genişliğini ve şeklini korumaktadır. Başlangıçta  $h=0.05$  ve  $\Delta t=0.025$  için tek dalganın genliği  $1.0000000$  ve üst pozisyonunu  $x=0$  da almaktadır.  $t=40$  da tek dalganın genliği  $0.9999426$  olup dalga en büyük değerini  $x=53.35$  de almaktadır. Dolayısıyla  $[0, 40]$  zaman aralığında genliklerdeki mutlak fark  $5.7 \times 10^{-5}$  olarak bulunur. Hatanın farklı zamanlarda dağılımı Şekil 2.4 te gösterilmiştir. Hataların değişimi  $-3 \times 10^{-4}$  ile  $3 \times 10^{-4}$  arasında gerçekleşir.

**Tablo 2.3.** Tek solitary dalganın  $h = 0.05$ ,  $\Delta t = 0.025$ , parametreleri için  $[-40, 100]$  aralığındaki hareketi

Metod	Zaman	$L_2$	$L_\infty$	$I_1$	$I_2$	$I_3$
$h = 0.2, \Delta t = 0.4$	10	0.03195399	0.01477190	8.0000005	5.6000315	20.2664360
	20	0.05446985	0.02321340	8.0000001	5.6000536	20.2662535
	30	0.07306022	0.03003074	7.9999998	5.6000631	20.2661684
	40	0.09025102	0.03638003	7.9999995	5.6000671	20.2661288
[44]	40	–	0.10976282			
$h = \Delta t = 0.1$	10	0.00204484	0.00095720	8.0000020	5.6000016	20.2666713
	20	0.00341396	0.00147163	8.0000020	5.6000019	20.2666716
	30	0.00457929	0.00189531	8.0000020	5.6000021	20.2666717
	40	0.00571248	0.00231941	8.0000020	5.6000022	20.2666718
[44]	40	–	0.00747237			
$h = 0.05, \Delta t = 0.025$	10	0.00012459	0.00005984	7.9999964	5.6000010	20.2666706
	20	0.00025628	0.00010502	7.9999964	5.6000010	20.2666706
	30	0.00040853	0.00016268	7.9999964	5.6000010	20.2666706
	40	0.00055868	0.00021891	7.9999964	5.6000010	20.2666706
[44]	40	–	0.00046983			
$h = 0.2, \Delta t = 0.01$	10	0.00051267	0.00017784	8.0000009	5.6000005	20.2666697
	20	0.00077372	0.00031687	8.0000009	5.6000010	20.2666713
	30	0.00107317	0.00045923	8.0000009	5.6000011	20.2666719
	40	0.00141405	0.00060343	8.0000009	5.6000012	20.2666721
[37]	20	0.00060007	0.00031641			



**Şekil 2.3.** Tek solitary dalganın  $h = 0.05$ ,  $\Delta t = 0.025$  parametreleri için  $-40 \leq x \leq 100$  aralığında  $t = 0, 10, 20, 30, 40$  zaman adımlarında ki hareketi



**Şekil 2.4.** Tek solitary dalganın  $h = 0.05$ ,  $\Delta t = 0.025$  parametreleri için  $-40 \leq x \leq 100$  aralığında  $t = 20$  zaman adımındaki hata dağılımları

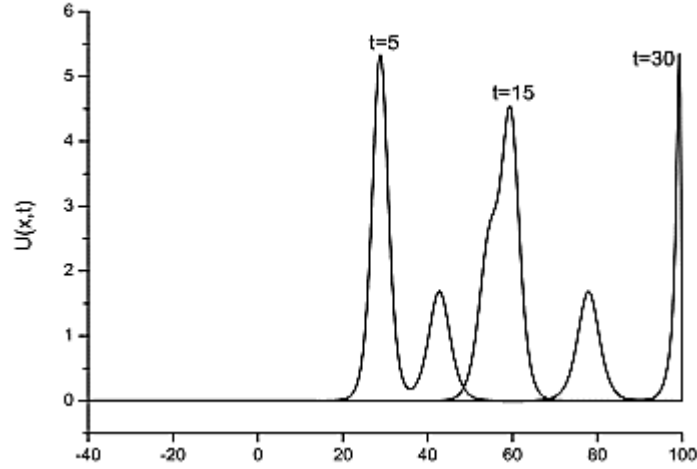
### 2.6.2. İki Solitary Dalganın Etkileşimi

Bu problem için, farklı genliklere sahip ve aynı yönde hareket eden (2.3) ile verilen BBM-Burgers denklemi için iki solitary dalganın etkileşimi hareketi incelenmiştir. Farklı genliklere sahip iki iyi ayrılmış solitary dalganın başlangıç durumu aşağıdaki forma sahiptir:

$$U(x,0) = \sum_{j=1}^2 3d_j \operatorname{sech}^2[k_j(x-x_j)], \quad (2.36)$$

burada  $k_1 = 0.4$ ,  $k_2 = 0.3$ ,  $x_1 = 15$ ,  $x_2 = 35$  ve  $d_j = \frac{4k^2}{1-4k_j^2}$ ,  $j = 1, 2$ .

Sayısal hesaplamalar için  $h = 0.05$ ,  $\Delta t = 0.025$ ,  $-40 \leq x \leq 100$  parametreleri seçilmiştir. Parametreler, etkileşimi mümkün kılmak için sırasıyla  $x = 28.85$  ve  $x = 42.75$  konumlarında 5.3283821 ve 1.6882687 gibi farklı genliklere sahip tek dalgalar üretmektedir. Hesaplamalar  $t = 30$  zamanına kadar yapılmıştır. Şekil 2.5 den görüldüğü gibi  $t = 0$  da büyük genliğe sahip dalga küçük genliğe sahip dalganın solunda bulunmaktadır. Daha büyük genliğe sahip dalga küçük genliğe sahip dalgadan daha hızlı hareket ettiği için  $t = 15$  zamanında küçük genlikli dalgayı yakalar ve iki dalganın girişimi hareketi başlar, daha sonra küçük genlikli dalgadan uzaklaşarak yoluna devam eder.



Şekil 2.5. İki solitary dalganın  $t = 5, 15, 30$  zaman adımlarındaki etkileşimi

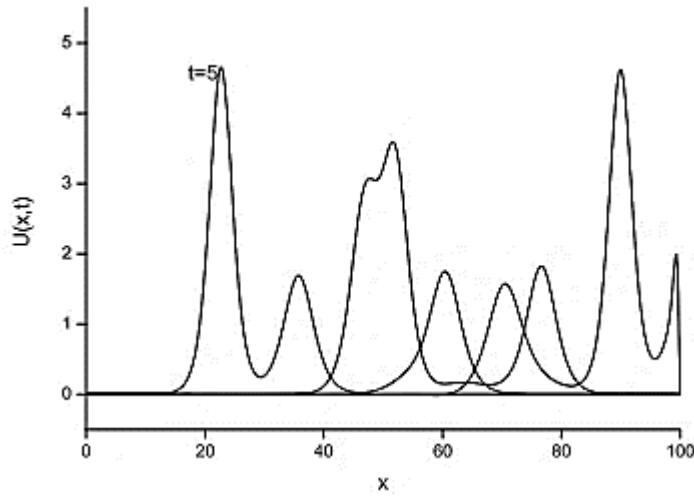
### 2.6.3. Üç Solitary Dalganın Etkileşimi

Bu bölümde, farklı genliklere sahip ve aynı yönde hareket eden üç solitary dalganın etkileşimi incelenmiştir. (2.3) ile verilen BBM-Burgers denklemi için, farklı genliklere sahip üç iyi ayrılmış solitary dalganın başlangıç durumu aşağıdaki forma sahiptir:

$$U(x,0) = \sum_{j=1}^3 3d_j \operatorname{sech}^2[k_j(x-x_j)], \quad (2.37)$$

Burada  $k_1 = 0.39$ ,  $k_2 = 0.30$ ,  $k_3 = 0.25$ ,  $x_1 = 10$ ,  $x_2 = 28$ ,  $x_3 = 52$  ve  $d_j = \frac{4k_j^2}{1-4k_j^2}$   
 $j = 1, 2, 3$ .

Üç solitary dalganın etkileşiminin gerçekleşmesini sağlamak için,  $-40 \leq x \leq 100$  aralığında  $h = 0.05$ ,  $\Delta t = 0.025$  parametreleri ile hesaplamalar yapılmıştır. Bu parametreler ile solitary dalgalar, 4.6526302, 1.6894437 ve 1.7500767 genliklerine sahip olurlar. Hesaplamalar  $t = 30$  zamanına kadar yapılmıştır. Şekil 2.6 da, üç solitary dalganın etkileşimi çizilmiştir. Şekilden de görüldüğü gibi,  $t = 15$  zamanı civarında etkileşim başlar ve büyük dalga küçük dalgaları yakalar ve üst üste binme süreci gerçekleşir. Artan zaman adımlarında orijinal şekillerine dönmeye başlarlar.



Şekil 2.6. Üç solitary dalganın  $t = 5, 15, 30$  zaman adımlarındaki etkileşimi

#### 2.6.4. Undular Bore Yayılımı

Son problem için, (1.6.1) ile verilen BBM denklem  $x \rightarrow \infty$  iken  $U \rightarrow 0$  ve  $x \rightarrow -\infty$  iken  $U \rightarrow U_0$  sınır koşulları ve

$$U(x,0) = \frac{1}{2}U_0 \left[ 1 - \tanh\left(\frac{x-x_c}{d}\right) \right], \quad (2.38)$$

başlangıç koşulları ile ele alınmıştır.

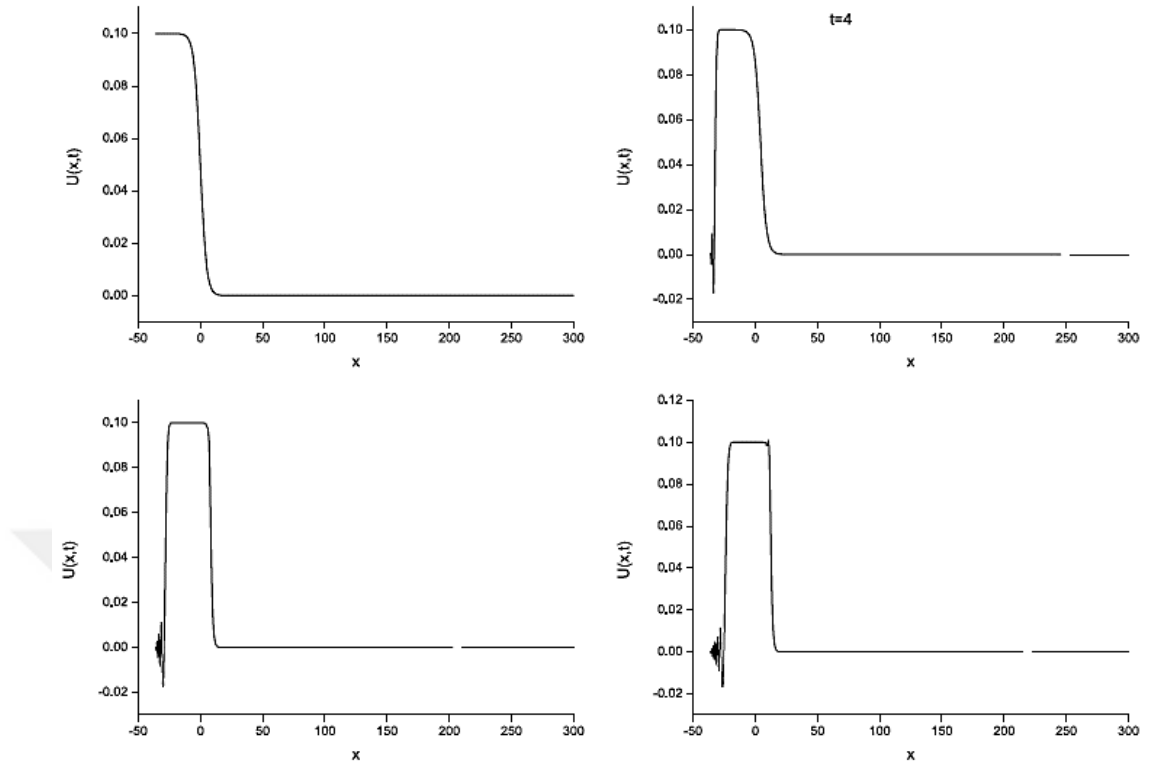


(2.38) ile verilen denklemde,  $U(x,0)$ ,  $t=0$  anında su yüzeyinin denge seviyesinin üzerinde yükselmesini,  $U_0$ ,  $x=x_c$  ye merkezindeki su seviyesindeki değişimin büyüklüğünü,  $d$  ise durgun su ile derin su arasındaki eğimi temsil etmektedir.

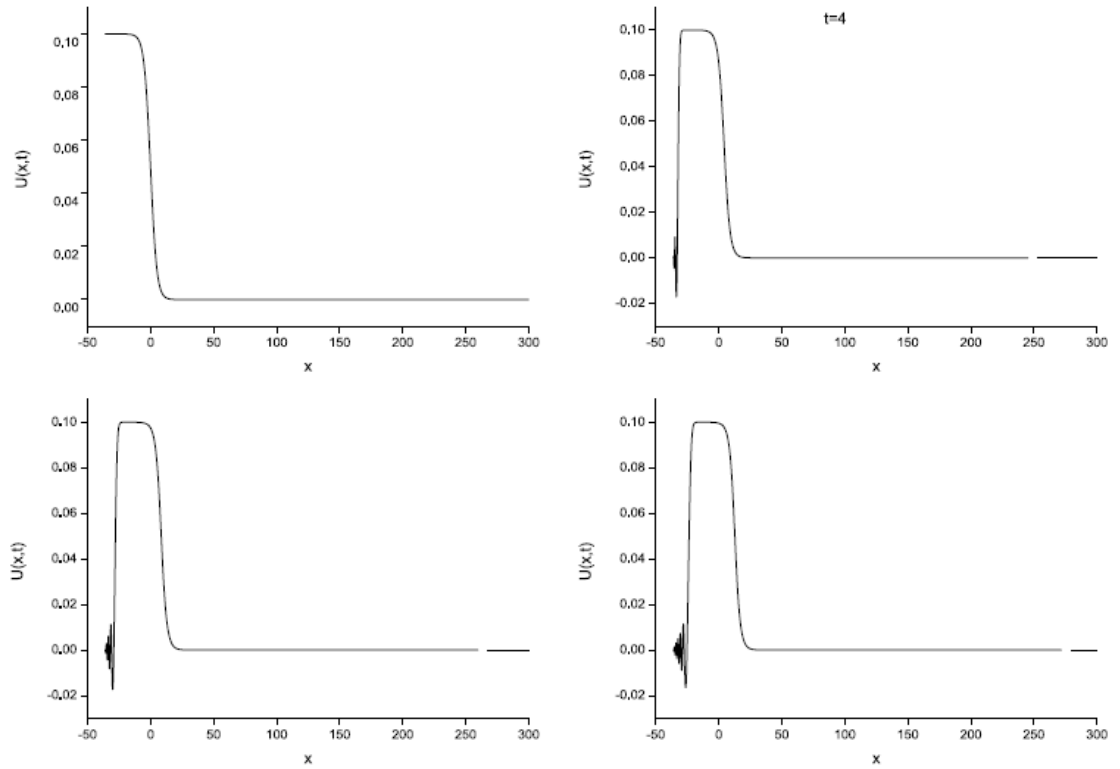
Daha önceki çalışmalarla karşılaştırma yapmak için parametreler  $U_0 = 0.1$ ,  $\mu = 1/6$ ,  $x_c = 0$ ,  $d = 2, 5$ ,  $h = 0.1$ ,  $\Delta t = 0.1$ ,  $x \in [-36, 300]$  şeklinde seçilmiştir. Hesaplamalar  $t=12$  ye kadar yapılmıştır ve elde edilen sonuçlar Tablo 2.4 te verilmiştir. Tablodan değişmezlerdeki değişikliklerin  $d = 2$  için  $1.0 \times 10^{-2}$ ,  $4.4 \times 10^{-4}$ ,  $2.6 \times 10^{-3}$  ve  $d = 5$  için  $1.0 \times 10^{-2}$ ,  $1.6 \times 10^{-4}$ ,  $2.6 \times 10^{-3}$  değerlerinden daha az değiştiği görülmüştür. Şekil 2.7 ve 2.8 da seçilen parametrelere uygun olarak grafikler  $t = 0, 4, 8, 12$  zaman adımlarında çizilmiştir. Artan  $x$  değerleri ile dalgaların genliğinin arttığı tespit edilmiştir. Bundan sonra dalgalanmalar tepe noktasına ulaşır ve dalgalar sönümlenir.

**Tablo 2.4.** Bir dalgalı undular bore için değişkenler  $U_0 = 0.1$ ,  $x_0 = 0$ ,  $d = 5$ ,  $\mu = 1/6$ ,  $h = 0.1$ ,  $\Delta t = 0.1$ ,  $x \in [-36, 300]$

Zaman	$I_1$		$I_2$		$I_3$	
	$d = 2$	$d = 5$	$d = 2$	$d = 5$	$d = 2$	$d = 5$
0	3.5949976	3.5949977	0.3494998	0.3344998	1.0829493	1.0356993
4	3.6051204	3.6051205	0.3500394	0.3348469	1.0802725	1.0330284
8	3.6053222	3.6053223	0.3499572	0.3347301	1.0802922	1.0330560
12	3.6053828	3.6053830	0.3499396	0.3346661	1.0802964	1.0330707



Şekil 2.7.  $d = 2$  için  $t = 0, 4, 8, 12$  deki undular bore un konfigürasyonları



Şekil 2.8.  $d = 5$  için  $t = 0, 4, 8, 12$  deki undular bore un konfigürasyonları

### 3. BÖLÜM

#### BBM-BURGERS DENKLEMİNİN SEPTİK B-SPLİNE KOLLOKASYON YÖNTEMİ İLE SAYISAL ÇÖZÜMLERİ

##### 3.1. Giriş

Tezin bu bölümünde Seydi Battal Gazi Karakoç ve Khalid Karam Ali'nin "Theoretical and computational structures on solitary wave solutions of Benjamin Bona Mahony-Burgers equation" isimli makaleleri ayrıntılı olarak incelenmiştir [56].

Bu bölümde lineer olmayan BBM-Burgers denkleminin sayısal çözümleri septik-B-spline kollokasyon sonlu elemanlar yöntemi ile elde edilmiştir. Önerilen sayısal yöntem, tek solitary dalgaının yayılması, iki ve üç solitary dalgaının etkileşimini içeren üç problemi test etmekte kullanılmıştır. Sayısal şemanın lineer kararlılık analizi, Von-Neumann teorisine dayalı olarak Fourier yöntemi ile yapılmıştır.

Yeni sayısal yöntemin uygunluğunu ve dayanıklılığını göstermek için  $L_2$ ,  $L_\infty$  hata normları ve  $I_1$ ,  $I_2$  ve  $I_3$  sabitleri hesaplanmış, sonuçlar sayısal ve grafiksel olarak gösterilmiştir. Elde edilen sonuçlardan mevcut yöntem ile elde edilen sayısal sonuçların lineer olmayan oluşum denklemlerinin çözümlerinde de kullanılabileceğini göstermektedir.

##### 3.2. BBM-Burgers Denklemi İçin Kollokasyon Yöntemi

Lineer olmayan dağılımlı bir ortamdaki küçük genlikli uzun dalgaların matematiksel bir modeli olan BBM-Burgers denklemi ;

$$U_t - U_{xxt} - \alpha U_{xx} + \beta U_x + UU_x = 0, \quad a \leq x \leq b, \quad 0 \leq t \leq T, \quad (3.1)$$

biçiminde olup burada  $\alpha$  ve  $\beta$  pozitif sabitler olmak üzere

$$U(x,0) = f(x), \quad a \leq x \leq b, \quad (3.2)$$

başlangıç koşulu ve

$$\begin{aligned}
U(a,t) &= 0, & U(b,t) &= 0, \\
U_x(a,t) &= 0, & U_x(b,t) &= 0, \\
U_{xx}(a,t) &= 0, & U_{xx}(b,t) &= 0, \quad t > 0
\end{aligned} \tag{3.3}$$

sınır koşulları ile tanımlanır. Eğer (3.1) denkleminde  $\alpha$  sıfır alınırsa (1.6.1) denklemi elde edilir. BBM-Burgers denklemi hem ayırıcı hem de dağıtıcı etkiler içermektedir. Dağıtıcı terim  $-\alpha U_{xx}$  olup dağıtıcı etkisi aşağıdaki Burger denklemi ile aynıdır.

$$U_t - \alpha U_{xx} + \beta U_x + UU_x = 0. \tag{3.4}$$

(3.1) denkleminin ayırıcı etkisini gösteren terim  $-U_{xx}$  olup bu etki (1.6.1) denklemi ile aynıdır.

$a \leq x \leq b$  aralığını  $a = x_0 < x_1 < \dots < x_N = b$ ,  $h = \frac{b-a}{N}$  olacak şekilde aralıklara

bölündüğünü varsayalım  $[a, b]$  çözüm aralığı için  $x_m$  düğüm noktalarında septik B-spline fonksiyonlar  $\phi_m(x)$  ( $m = -3, -2, -1, \dots, N+2, N+3$ )

$$\phi_m(x) = \frac{1}{h^7} \begin{cases} (x-x_{m-4})^7 & [x_{m-4}, x_{m-3}] \\ (x-x_{m-4})^7 - 8(x-x_{m-3})^7 & [x_{m-3}, x_{m-2}] \\ (x-x_{m-4})^7 - 8(x-x_{m-3})^7 + 28(x-x_{m-2})^7 & [x_{m-2}, x_{m-1}] \\ (x-x_{m-4})^7 - 8(x-x_{m-3})^7 + 28(x-x_{m-2})^7 - 56(x-x_{m-1})^7 & [x_{m-1}, x_m] \\ (x_{m+4}-x)^7 - 8(x_{m+3}-x)^7 + 28(x_{m+2}-x)^7 - 56(x_{m+1}-x)^7 & [x_m, x_{m+1}] \\ (x_{m+4}-x)^7 - 8(x_{m+3}-x)^7 + 28(x_{m+2}-x)^7 & [x_{m+1}, x_{m+2}] \\ (x_{m+4}-x)^7 - 8(x_{m+3}-x)^7 & [x_{m+2}, x_{m+3}] \\ (x_{m+4}-x)^7 & [x_{m+3}, x_{m+4}] \\ 0 & \text{diğer durumlarda} \end{cases} \tag{3.5}$$

şeklinde tanımlanır [12].

Denklemden  $U(x,t)$  tam çözüm fonksiyonu olup buna karşılık gelen yaklaşık çözüm olan  $U_N(x,t)$ , (3.5) ile verilen  $\phi_m(x)$  septik B-spline fonksiyonlar cinsinden

$$U_N(x,t) = \sum_{m=-3}^{N+3} \phi_m(x) \delta_m(t) \quad (3.6)$$

ile verildi. Burada  $\delta_m(t)$  zamana bağılı katsayılarıdır. Her septik B-spline sekiz elemanı kapsar, bu nedenle her bir  $[x_m, x_{m+1}]$ , sekiz B-spline tarafından örtülmektedir.  $[x_m, x_{m+1}]$  sonlu eleman  $h\xi = x - x_m$ ,  $0 \leq \xi \leq 1$  şeklinde tanımlanan lokal koordinat dönüşümüyle  $[0,1]$  aralığına dönüşür. Bu nedenle, (3.5) ile verilen septik B-spline fonksiyonlar  $[0,1]$  aralığında  $\xi$  cinsinden:

$$\begin{aligned} \phi_{m-3} &= 1 - 7\xi + 21\xi^2 - 35\xi^3 + 35\xi^4 - 21\xi^5 + 7\xi^6 - \xi^7, \\ \phi_{m-2} &= 120 - 392\xi + 504\xi^2 - 280\xi^3 + 84\xi^5 - 42\xi^6 + 7\xi^7, \\ \phi_{m-1} &= 1191 - 1715\xi + 315\xi^2 + 665\xi^3 - 315\xi^4 - 105\xi^5 + 105\xi^6 - 21\xi^7, \\ \phi_m &= 2416 - 1680\xi + 560\xi^4 - 140\xi^6 + 35\xi^7, \\ \phi_{m+1} &= 1191 + 1715\xi + 315\xi^2 - 665\xi^3 - 315\xi^4 + 105\xi^5 + 105\xi^6 - 35\xi^7, \\ \phi_{m+2} &= 120 + 392\xi + 504\xi^2 + 280\xi^3 - 84\xi^5 - 42\xi^6 + 21\xi^7, \\ \phi_{m+3} &= 1 + 7\xi + 21\xi^2 + 35\xi^3 + 35\xi^4 + 21\xi^5 + 7\xi^6 - \xi^7, \\ \phi_{m+4} &= \xi^7. \end{aligned} \quad (3.7)$$

şeklindedir.

(3.5) ve (3.6) denklemleri kullanılarak  $U_m, U'_m, U''_m, U'''_m$  ve  $U_m^{iv}$  düğüm noktalarının  $\delta_m$  eleman parametreleri cinsinden

$$\begin{aligned} U_N(x_m, t) &= U_m = \delta_{m-3} + 120\delta_{m-2} + 1191\delta_{m-1} + 2416\delta_m + 1191\delta_{m+1} + 120\delta_{m+2} + \delta_{m+3}, \\ U'_m &= \frac{7}{h}(-\delta_{m-3} - 56\delta_{m-2} - 245\delta_{m-1} + 245\delta_{m+1} + 56\delta_{m+2} + \delta_{m+3}), \\ U''_m &= \frac{42}{h^2}(\delta_{m-3} + 24\delta_{m-2} + 15\delta_{m-1} - 80\delta_m + 15\delta_{m+1} + 24\delta_{m+2} + \delta_{m+3}), \\ U'''_m &= \frac{210}{h^3}(-\delta_{m-3} - 8\delta_{m-2} + 19\delta_{m-1} - 19\delta_{m+1} + 8\delta_{m+2} + \delta_{m+3}), \\ U_m^{iv} &= \frac{840}{h^3}(\delta_{m-3} - 9\delta_{m-1} + 16\delta_m - 9\delta_{m+1} + \delta_{m+3}) \end{aligned} \quad (3.8)$$

ve

$U$  nun  $[x_m, x_{m+1}]$  aralığı üzerindeki varyasyonu

$$U = \sum_{m=-3}^{N+3} \phi_m \delta_m \quad (3.9)$$

şeklindedir.

(3.6) ve (3.8) ile verilen eşitlikler (3.1) denkleminde kullanılırsa

$$\begin{aligned} & \dot{\delta}_{m-3} + 120\dot{\delta}_{m-2} + 1191\dot{\delta}_{m-1} + 2416\dot{\delta}_m + 1191\dot{\delta}_{m+1} + 120\dot{\delta}_{m+2} + \dot{\delta}_{m+3} \\ & - \frac{42}{h^2} (\dot{\delta}_{m-3} + 24\dot{\delta}_{m-2} + 15\dot{\delta}_{m-1} - 80\dot{\delta}_m + 15\dot{\delta}_{m+1} + 24\dot{\delta}_{m+2} + \dot{\delta}_{m+3}) \\ & - \frac{42}{h^2} (\delta_{m-3} + 24\delta_{m-2} + 15\delta_{m-1} - 80\delta_m + 15\delta_{m+1} + 24\delta_{m+2} + \delta_{m+3}) \\ & + \frac{7}{h} Z_m (-\delta_{m-3} - 56\delta_{m-2} - 245\delta_{m-1} + 245\delta_{m+1} + 56\delta_{m+2} + \delta_{m+3}) = 0, \end{aligned} \quad (3.10)$$

biçiminde denklem sistemi bulunur. Buradan

$$Z_m = U_m = (\delta_{m-3} + 120\delta_{m-2} + 1191\delta_{m-1} + 2416\delta_m + 1191\delta_{m+1} + 120\delta_{m+2} + \delta_{m+3}) \text{ dir.}$$

Eğer  $\delta_i$  ve (3.10) denklem sistemindeki  $\dot{\delta}_i$  yerine sırasıyla

$$\delta_i = \frac{\delta_i^{n+1} + \delta_i^n}{2}, \quad (3.11)$$

$$\dot{\delta}_i = \frac{\delta_i^{n+1} - \delta_i^n}{\Delta t}, \quad (3.12)$$

Crank-Nicolson ve ileri sonlu fark yaklaşımı yazılırsa bilinmeyen parametreler olan  $\delta_i^{n+1}, \delta_i^n$   $i = m-3, m-2, \dots, m+2, m+3$  zaman seviyesi arasında aşağıdaki iterasyon

denklemini bulunur:

$$\begin{aligned} & \gamma_1 \delta_{m-3}^{n+1} + \gamma_2 \delta_{m-2}^{n+1} + \gamma_3 \delta_{m-1}^{n+1} + \gamma_4 \delta_m^{n+1} + \gamma_5 \delta_{m+1}^{n+1} + \gamma_6 \delta_{m+2}^{n+1} + \gamma_7 \delta_{m+3}^{n+1} \\ & = \gamma_7 \delta_{m-3}^n + \gamma_6 \delta_{m-2}^n + \gamma_5 \delta_{m-1}^n + \gamma_4 \delta_m^n + \gamma_3 \delta_{m+1}^n + \gamma_2 \delta_{m+2}^n + \gamma_1 \delta_{m+3}^n, \end{aligned} \quad (3.13)$$

burada

$$\begin{aligned}
\gamma_1 &= [1 - E - M - K(1 + Z_m)], \\
\gamma_2 &= [120 - 24E - 24M - 56K(1 + Z_m)], \\
\gamma_3 &= [1191 - 15E - 15M - 245K(1 + Z_m)], \\
\gamma_4 &= [2416 + 80E + 80M], \\
\gamma_5 &= [1191 - 15E - 15M + 245K(1 + Z_m)], \\
\gamma_6 &= [120 - 24E - 24M + 56K(1 + Z_m)], \\
\gamma_7 &= [1 - E - M + K(1 + Z_m)], \\
m &= 0, 1, \dots, N, \quad E = \frac{42}{h^2}, \quad M = \frac{21\Delta t}{h^2}, \quad K = \frac{7}{2h} \Delta t \text{ dır.}
\end{aligned} \tag{3.14}$$

(3.13) ile verilen sistem ,  $(\delta_{-3}, \delta_{-2}, \delta_{-1}, \dots, \delta_{N+1}, \delta_{N+2}, \delta_{N+3})$  şeklinde  $(N+7)$  tane bilinmeyen ve  $(N+1)$  tane lineer denklem içerir. Bu nedenle, ortaya çıkan sistemin bir tek çözümünü elde etmek için  $\delta_{-3}, \delta_{-2}, \delta_{-1}, \dots, \delta_{N+1}, \delta_{N+2}, \delta_{N+3}$  bilinmeyenleri yok etmek gerekir. Bunun için altı ek denkleme ihtiyacımız vardır. Bu altı ek denklem (3.3) sınır koşullarından elde edilir ve  $\delta_{-3}, \delta_{-2}, \delta_{-1}, \dots, \delta_{N+1}, \delta_{N+2}$  ve  $\delta_{N+3}$  katsayıları yok edildikten sonra (3.13) sistemi

$$Rd^{n+1} = Sd^n \tag{3.15}$$

gibi  $(N+1)$  tane lineer denklem ve  $(N+1)$  tane bilinmeyenden oluşan bir matris sistemine indirgenir.  $Z_m$  nin neden olduğu lineer olmamanın üstesinden gelmek için her adımda  $\delta^{n*} = \delta^n + \frac{1}{2}(\delta^n - \delta^{n-1})$  şeklinde iç iterasyon iki veya üç defa uygulanır. Çözümüne başlamadan önce  $d^0$  parametreleri aşağıdaki başlangıç şartlarından elde edilir.

$$\begin{aligned}
U_N(x, 0) &= U(x_m, 0); \quad m = 0, 1, 2, \dots, N \\
(U_N)_x(a, 0) &= 0, \quad (U_N)_x(b, 0) = 0, \\
(U_N)_{xx}(a, 0) &= 0, \quad (U_N)_{xx}(b, 0) = 0, \\
(U_N)_{xxx}(a, 0) &= 0, \quad (U_N)_{xxx}(b, 0) = 0,
\end{aligned}$$

Böylece, başlangıç vektörü olan  $d^0$  için  $Vd^0 = W$  matris formu elde edilir

ve buradan;





Fourier kararlılık analizine göre, verilen şemanın kararlı olması için  $|\xi| \leq 1$  koşulunun sağlanması gerekir. Sembolik bir programlama yazılımı kullanarak veya basit hesaplamalar yaparak,  $a^2 + b^2 = a^2 + (-b)^2$  olduğu kolaylıkla görülebilir ve böylece  $|\xi| = 1$  e eşit olur. Bu nedenle, lineerleştirilmiş algoritma şartsız olarak kararlıdır.

### 3.4. Sayısal Örnekler ve Sonuçlar

Bu bölümde, sayısal algoritmamızın doğruluğunu göstermek için tek dalganın hareketi, iki ve üç dalganın girişimi problemi ele alınmıştır. Bu üç problem de, sayısal algoritmamız için simülasyonlar ilerledikçe çözümün konumunun ve genliğinin uygunluğunu göstermek için aşağıdaki hata normları ele alındı:

$$L_2 = \|U^{tam} - U_N\|_2 \approx \sqrt{h \sum_{j=0}^N |U_j^{tam} - (U_N)_j|^2} \quad \text{ve}$$

$$L_\infty = \|U^{tam} - U_N\|_\infty \approx \max_j |U_j^{tam} - (U_N)_j|.$$

BBM-Burgers denklemi için üç tane invaryant (değişmez) vardır. Bunlar kütle, momentum, enerjiye karşılık gelir ve sırasıyla

$$I_1 = \int_{-\infty}^{\infty} U(x,t) dx, \quad I_2 = \int_{-\infty}^{\infty} [U^2(x,t) + U_x^2(x,t)] dx, \quad I_3 = \int_{-\infty}^{\infty} [U^3(x,t) + 3U^2(x,t)] dx \quad (3.18)$$

ile verilir.

#### 3.4.1. Tek Bir Solitary Dalganın Yayılımı

Sayısal şemamızın doğruluğu için iki durum ele alındı.

##### 1. Durum

Bu durumda, giriş kısmında da belirtildiği gibi (3.1) ile verilen BBM-Burgers denkleminde  $\alpha = 0$  ve  $\beta = 1$  alındığında elde edilen (1.6.1) ile verilen BBM denklemi için bazı sayısal sonuçlar verildi. (1.6.1) denklemini  $U \rightarrow 0, x \rightarrow \pm\infty$  sınır koşulları ve

$$U(x,0) = 3c \operatorname{sech}^2[k(x-x_0)] \quad (3.19)$$

başlangıç koşulu ile ele alındı. Bu problem,

$$U(x,t) = 3c \operatorname{sech}^2[k(x-x_0-vt)], \quad (3.20)$$

şeklinde bir tam çözüme sahiptir. Burada  $v = 1 + \varepsilon c$  dalga hızı ve  $k = \frac{1}{2} \sqrt{\frac{\varepsilon c}{\mu(1+\varepsilon c)}}$  dir.

Bu denklem,  $x_0$  merkezli  $1 + \varepsilon c$  sabit hızına ve  $3c$  genliğine sahiptir. Daha önceki çalışmalarla karşılaştırabilmek için  $[-40, 60]$  aralığında parametreler ilk olarak  $c = h = \Delta t = 0.1$  ve ikinci olarak  $c = 0.03, h = \Delta t = 0.1$  alındı. Değişmezlerin tam değerleri  $c = 0.1$  için  $I_1 = 3.9799497, I_2 = 0.81046249$  ve  $I_3 = 2.579007$ ,  $c = 0.03$  için  $I_1 = 2.1094074, I_2 = 0.127302$  ve  $I_3 = 0.388806$  olarak bulunur. Simülasyonlar, hata normlarını ve üç korunmuş niceliği elde etmek için  $t = 20$  zamanına kadar çalıştırıldı. Farklı  $c$  değerleri için elde edilen veriler Tablo 3.1 ve Tablo 3.2 de verildi. Bu tablolar, yöntemimizle elde edilen hata normlarının diğerlerinden daha küçük olduğunu ve zaman arttıkça değişmezlerimizin neredeyse sabit olduğunu açıkça göstermektedir. Tablolardan,  $c = 0.1$  için  $I_1$  değişmezinin başlangıç değerinden  $4.31 \times 10^{-5}$  ten daha az değiştiği  $I_2$  ve  $I_3$  değişmezlerininse başlangıç değerlerine göre hiç değişmediği ve  $c = 0.03$  için  $I_1, I_2, I_3$  değişmezlerinin başlangıç değerlerine göre sırasıyla  $2.41 \times 10^{-3}, 9 \times 10^{-7}$  ve  $2.2 \times 10^{-6}$  dan daha az değiştiği görülmektedir. Ayrıca, değişmezlerdeki değişiklikler tam değerleri ile uyumludur. Bilgisayar çalışması süresince  $L_2$  ve  $L_\infty$  hata normları yeterince küçük olarak elde edilmiştir. Bu nedenle yöntemimizin yeterince uygun olduğunu söyleyebiliriz. Şekil 3.1  $t = 0, 10, 20$  anındaki çözümleri göstermektedir. Görüldüğü gibi, tek soliton dalgalar sabit bir hızla sağa doğru hareket etmekte ve beklendiği gibi artan zaman adımlarında genliğini ve şeklini korumaktadır. Başlangıçta,  $c = 0.1$  için soliter dalganın genliği 0.30000 dür ve en büyük değerini  $x = 0$  da almaktadır.  $t = 20$  de, dalganın genliği 0.29997 olup dalganın merkezi  $x = 22$  dedir.  $c = 0.03$  için soliter dalganın genliği 0.08999 dur ve en büyük değerini  $x = 0$  da almaktadır.  $t = 20$  de dalganın genliği 0.08999 olup dalganın merkezi  $x = 20.6$  dır.

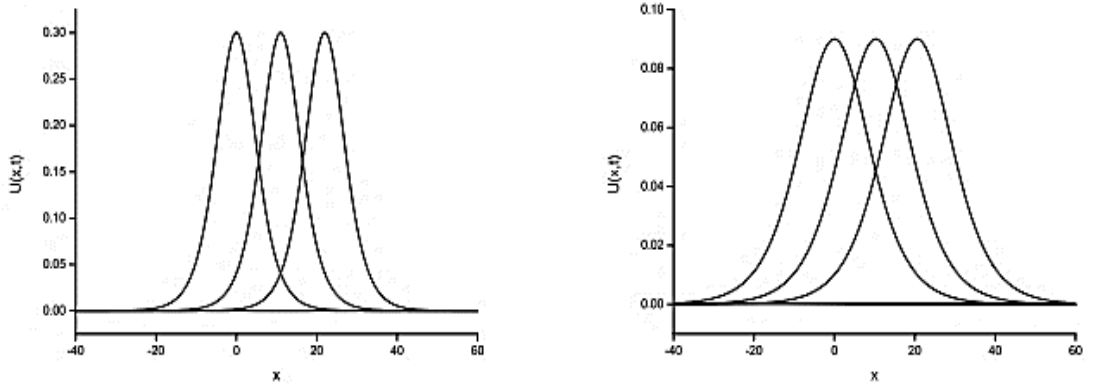
Bu nedenle,  $[0, 20]$  zaman aralığında genliklerdeki mutlak fark sırasıyla  $3 \times 10^{-5}$  ve 0 olarak ölçülür. Şekil 3.2 de  $c = 0.1$  ve 0.03 farklı zamanlarda elde edilen hata miktarı gösterilmektedir. Hata sapmaları  $c = 0.1$  için  $-8 \times 10^{-5}$  ile  $1 \times 10^{-4}$  ve  $c = 0.03$  için  $-4 \times 10^{-4}$  ile  $4 \times 10^{-4}$  arasında değişir.

**Tablo 3.1.** Tek dalganın farklı zaman adımlarında  $c = h = \Delta t = 0.1$  için  $[-40, 60]$  aralığında elde edilen değişmezler ve hata normları

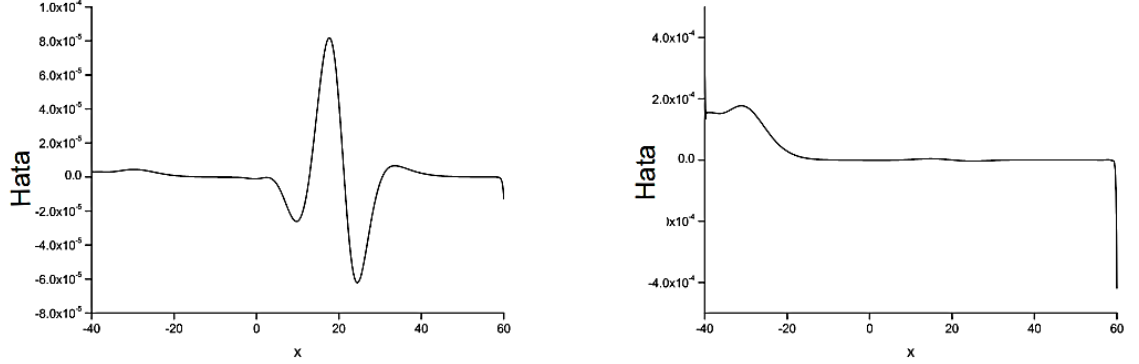
Metod	Zaman	$I_1$	$I_2$	$I_3$	$L_2 \times 10^3$	$L_\infty \times 10^3$
Septik Kollokasyon	0	3.9799264	0.8104627	2.5790082	0	0
	4	3.9799532	0.8104627	2.5790082	0.0459217	0.0179172
	8	3.9799717	0.8104627	2.5790082	0.0903127	0.0361521
	12	3.9799860	0.8104627	2.5790082	0.1329449	0.0530899
	16	3.9799910	0.8104627	2.5790082	0.1730352	0.0680887
	20	3.9799695	0.8104627	2.5790082	0.2113133	0.0818479
$h = 0.05$	20	3.9799843	0.8104621	2.5790061	0.2193390	0.0823461
$h = 0.01$	20	3.9800054	0.8104616	2.5790045	0.2346357	0.0876049
Galerkin dereceden ( $h = 0.1$ )[25]	ikinci 20	3.97989	0.810467	2.57902	0.220	0.086
Sonlu ( $h = 0.1$ )[25]	fark 20	4.41219	0.897342	2.85361	196.1	67.35
[26]	20	3.98203	0.808650	2.57302	4.688	1.755
[27]	20	3.96160	0.804185	2.55829	0.018	1.566
[28]	20	3.98206	0.811164	2.58133	0.511	0.198
[29]	20	3.97988	0.810276	2.57839	0.30	0.116
[31]	20	3.97988	0.810465	2.57901	0.219	0.086
[35]	20	3.97988	0.810461	2.579	0.307172	0.117734
[37]	20	-	-	-	0.20	0.078

**Tablo 3.2.** Tek dalganın farklı zaman adımlarında  $c = 0.03, h = 0.1, \Delta t = 0.1$  için  $[-40, 60]$  aralığında elde edilen değişmezler ve hata normları

Metod	Zaman	$I_1$	$I_2$	$I_3$	$L_2 \times 10^3$	$L_\infty \times 10^3$
Septik Kollokasyon	0	2.1070646	0.1273018	0.3888045	0	0
	4	2.1084334	0.1273019	0.3888061	0.15006771	0.19652671
	8	2.1093708	0.1273021	0.3888070	0.30962660	0.29397281
	12	2.1099722	0.1273023	0.3888075	0.44953010	0.34225072
	16	2.1101033	0.1273025	0.3888077	0.55766109	0.36615936
	20	2.1094796	0.1273027	0.3888067	0.65311575	0.41868081
$h = 0.05$	20	2.1105225	0.1273030	0.3888079	0.88555502	0.41872161
$h = 0.125$	20	2.1091488	0.1273027	0.3888064	0.58532273	0.41865389
[35]	20	2.10460	0.127302	0.388802	0.562458	0.431512
[36]	20	-	-	-	9.40151	3.54203



**Şekil 3.1.** Tek solitary dalganın  $c = h = \Delta t = 0.1$  ve  $c = 0.03, h = \Delta t = 0.1$  parametreleri için  $-40 \leq x \leq 60$  aralığında  $t = 0, 10$  ve  $20$  zaman adımlarındaki hareketi



**Şekil 3.2.** Tek solitary dalganın  $c = h = \Delta t = 0.1$  ve  $c = 0.03$ ,  $h = \Delta t = 0.1$  parametreleri için  $-40 \leq x \leq 60$  aralığında  $t = 20$  zaman adımıdaki hata dağılımı

## 2. Durum

Bu durumda, (1.6.1) ile verilen denklem için  $U \rightarrow 0$ ,  $x \rightarrow \pm\infty$  sınır koşulları ve

$$U(x, 0) = \text{sech}^2 \left[ \frac{x}{4} \right] \quad (3.21)$$

başlangıç koşulu ile ele alındı. Bu durum için bu problemin tam çözümü

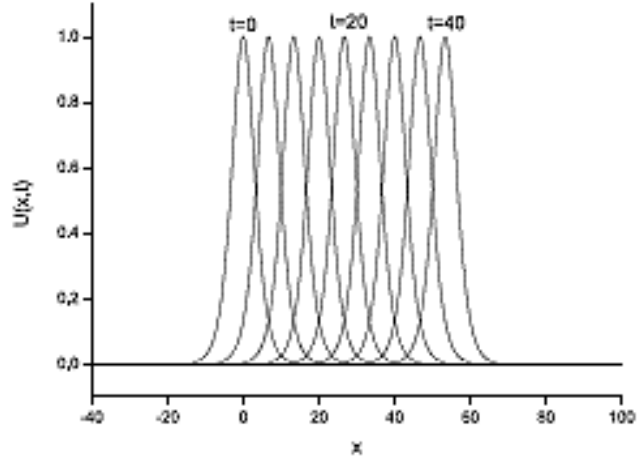
$$U(x, t) = \text{sech}^2 \left[ \frac{x}{4} - \frac{t}{3} \right] \quad \text{dir.} \quad (3.22)$$

Hesaplamalar için, farklı konum ve zaman adımlarında bilgisayar programı  $[-40, 100]$  aralığında  $t = 40$  zaman adımına kadar çalıştırıldı. Tablo 3.3 te  $L_2$ ,  $L_\infty$  hata normları  $I_1$ ,  $I_2$  ve  $I_3$  değişmezlerinin değerleri ile önceki çalışmalarla yapılan karşılaştırmalar birlikte verilmiştir. Bu tablo, yöntemimiz tarafından elde edilen hata normlarının diğerlerinden daha küçük olduğunu ve zaman arttıkça değişmezlerimizin neredeyse sabit kaldığını açıkça göstermektedir. Tablodan,  $I_1$  ve  $I_3$  değişmezlerinin başlangıç değerlerine göre  $1 \times 10^{-7}$  daha az değiştiği ve  $I_2$  değişmezinin ise hala değişmediği açık bir şekilde görülmektedir. Ayrıca, değişmezlerdeki değişiklikler tam değerleriyle uyumludur. Bilgisayar çalışması süresince  $L_2$  ve  $L_\infty$  hata normları yeterince küçük olarak elde edildi. Bu nedenle, yöntemimizin yeterince uygun olduğunu söyleyebiliriz. Şekil 3.3  $t = 0, 5, 10, 15, 20, 25, 30, 35$  ve  $40$  zaman adımlarındaki çözümleri göstermektedir.

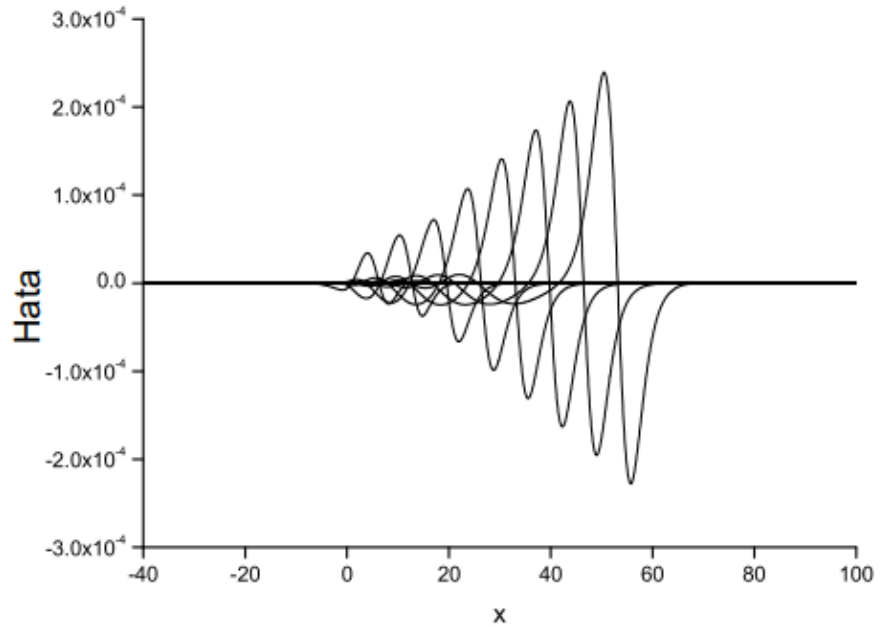
Görüldüğü gibi, tek soliton dalga sabit bir hızla sağa doğru hareket etmekte ve beklendiği gibi artan zaman adımlarında genliğini ve şeklini korumaktadır. Başlangıçta  $h = 0.05$  ve  $\Delta t = 0.025$  için, solitary dalganın genliği 0.99995 dir ve en büyük değerini  $x = 0$  da almaktadır.  $t = 40$  anındaki genliği  $x = 53.35$  civarında 0.99995 dir. Bu nedenle,  $[0, 40]$  zaman aralığında genliklerdeki mutlak fark sırasıyla  $4 \times 10^{-5}$  ve 0 olarak bulunur. Farklı zamanlarda ki hata sapması Şekil 3.4 te verilmiştir. Hata sapması  $-3 \times 10^{-4}$  ve  $3 \times 10^{-4}$  arasında değişmektedir.

**Tablo 3.3.** Tek dalganın farklı zaman adımlarında  $h = 0.05$ ,  $\Delta t = 0.025$  için  $[-40, 100]$  aralığında elde edilen değişmezler ve hata normları

Metod	Zaman	$L_2$	$L_\infty$	$I_1$	$I_2$	$I_3$
$h = 0.2, \Delta t = 0.4$	10	0.03187463	0.01469148	8.0000009	5.5999998	20.2663292
	20	0.05466544	0.02323583	8.0000010	5.5999998	20.2660683
	30	0.07362302	0.03019023	8.0000010	5.5999998	20.2659488
	40	0.09120663	0.03668291	8.0000010	5.5999998	20.2658946
	[44]	40	-	0.10976282		
$h = \Delta t = 0.1$	10	0.00202237	0.00093646	8.0000021	5.6000010	20.2666693
	20	0.00346138	0.00147827	8.0000021	5.6000010	20.2666683
	30	0.00472296	0.00193615	8.0000022	5.6000010	20.2666676
	40	0.00595841	0.00239601	8.0000022	5.6000010	20.2666676
	[44]	40	-	0.00747237		
$h = 0.05, \Delta t = 0.025$	10	0.00011498	0.00005449	7.9999964	5.6000010	20.2666706
	20	0.00027249	0.00010719	7.9999965	5.6000010	20.2666705
	30	0.00045131	0.00017379	7.9999965	5.6000010	20.2666705
	40	0.00062752	0.00023925	7.9999966	5.6000010	20.2666705
	[44]	40	-	0.00046983		
$h = 0.2, \Delta t = 0.01$	10	0.00002319	0.00001037	8.0000009	5.5999998	20.2666659
	20	0.00001037	0.00001147	8.0000010	5.5999998	20.2666659
	30	0.00002208	0.00000752	8.0000010	5.5999998	20.2666659
	40	0.00002593	0.00001052	8.0000010	5.5999998	20.2666659
	[37]	20	0.00060007	0.00031641		



**Şekil 3.3.** Tek solitary dalganın  $h = 0.05, \Delta t = 0.025$  parametreleri için  $-40 \leq x \leq 100$  aralığında  $t = 0, 5, \dots, 40$  zaman adımlarındaki hareketi



**Şekil 3.4.** Tek solitary dalganın  $h = 0.05, \Delta t = 0.025$  parametreleri için  $-40 \leq x \leq 100$  aralığındaki hata dağılımları

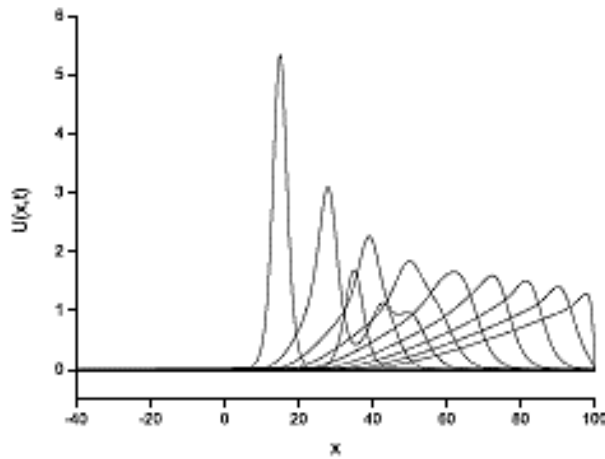
### 3.4.2. İki Solitary Dalganın Etkileşimi

Bu kısımda (3.1) ile verilen BBM-Burgers denklemleri için, farklı genliklere sahip ve aynı yönde hareket eden iki solitary dalganın etkileşimi göz önüne alınmıştır. Farklı genliklerdeki iki iyi ayrılmış solitary dalga için başlangıç şartı

$$U(x,0) = \sum_{j=1}^2 3d_j \operatorname{sech}^2[k_j(x-x_j)], \quad (3.23)$$

şeklinde olup burada  $k_1 = 0.4$ ,  $k_2 = 0.3$ ,  $x_1 = 15$  ve  $d_j = \frac{4k_j^2}{1-4k_j^2}$ ,  $j=1,2$  dir.

Sayısal hesaplamalar için  $h = 0.05$ ,  $\Delta t = 0.025$ ,  $-40 \leq x \leq 100$  parametreleri alındı. Bu parametreler, etkileşimi mümkün kılmak için  $x = 15$  ve  $x = 35$  civarında sırasıyla 5.33337 ve 1.68758 farklı genliklere sahip tek solitary dalgalar üretir. Hesaplamalar  $t = 25$  zamanına kadar yapıldı ve iki tek dalganın etkileşiminin davranışı Şekil 3.5 te gösterilmiştir.



Şekil 3.5.  $t = 0, 5, \dots, 25$  zaman adımlarında iki solitary dalganın girişimi



### 3.4.3. Üç Solitary Dalganın Etkileşimi

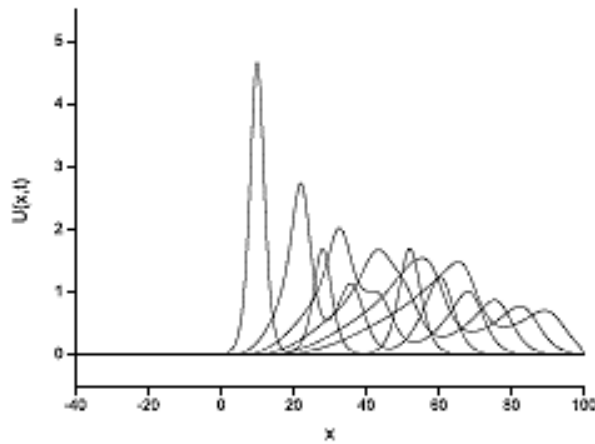
Bu bölümde, farklı genliklere sahip ve aynı yönde hareket eden üç solitary dalganın etkileşimi incelenmiştir. (3.1) ile verilen BBM-Burgers denklemi için, farklı genliklere sahip üç iyi ayrılmış tek dalga

$$U(x,0) = \sum_{j=1}^3 3d_j \operatorname{sech}^2[k_j(x-x_j)], \quad (3.24)$$

şeklinde başlangıç şartına sahip olup burada  $k_1 = 0.39$ ,  $k_2 = 0.30$ ,  $k_3 = 0.25$ ,

$x_1 = 10$ ,  $x_2 = 28$ ,  $x_3 = 52$  ve  $d_j = \frac{4k_j^2}{1-4k_j^2}$ ,  $j = 1, 2, 3$  dür. Üç solitary dalganın

etkileşimini sağlamak için,  $-40 \leq x \leq 100$  aralığında  $h = 0.05$ ,  $\Delta t = 0.025$  parametreleri seçildi. Bu parametreler sırasıyla, 4.65926, 1.68755 ve 1.68750 değerlerine sahip tek dalgalar belirtir. Simülasyonlar  $t = 25$  zamanına kadar çalıştırıldı ve üç soliter dalganın etkileşimi hareketi Şekil 3.6 da gösterildi.



Şekil 3.6.  $t = 0, 5, \dots, 25$  zaman adımlarında üç solitary dalganın girişimi

## 4. BÖLÜM

### SONUÇLAR

Bu çalışmada, BBM-Burgers denkleminin kübik B-spline baz fonksiyonları kullanılarak lumped Galerkin sonlu eleman yöntemi uygulanmış olan [52] ve [57] referans numaralı makaleler incelenmiştir. Hesaplamalar tam çözümü bilinen tek solitary dalga ile etkileşim süresince tam çözümü bilinmeyen iki, üç solitary dalga ve undular bore dalgaların gelişimi için yapılmıştır. Galerkin yöntemiyle elde edilen çözümlerin varlığı ve tekliği gösterilmiştir. Konumsal yaklaşım için Galerkin sonlu elemanlar algoritmasının kararlılık analizi ayrıntılı olarak gösterilmiştir.

Ayrıca bu çalışmada BBM-Burgers denkleminin sayısal çözümlerini elde etmek için septik B-spline kollokasyon sonlu eleman yöntemi kullanılmıştır. Sayısal hesaplamalar tam çözümü bilinen tek solitary dalga ile etkileşim sırasında tam çözümleri bilinmeyen iki ve üç solitary dalganın etkileşimini göstermek için yapılmıştır.

Her iki yöntem için kararlılık analizi yapılarak yöntemin koşulsuz olarak kararlı olduğu gösterilmiştir. Yöntemin doğruluğu hem  $L_2$  hem de  $L_\infty$  hata normları ve değişmez büyüklükler  $I_1, I_2$  ve  $I_3$  ile incelenmiştir. Elde edilen sayısal sonuçlar, hata normlarının yeterince küçük olduğunu ve bilgisayar programının çalışması süresince değişmezlerin hemen hemen sabit kaldığını göstermektedir. Sayısal algoritmamızın ele alınan denklem için literatürde bulunan diğer sonuçlara göre daha iyi sonuçlar elde edildiği söylenebilir.

Sonuç olarak, BBM-Burgers denklemi ile temsil edilen geniş uygulamaları olan fiziksel problemler için kübik B-spline Galerkin sonlu eleman yöntemi ile septik B-spline kollokasyon yöntemi doğru, pratik ve güçlü yöntemlerdir.

## KAYNAKLAR

1. Clough, R.W., “The finite element in plane stress analysis”, *Proc.2nd A.S.C.E.Conf.on Elektronik Computation*, Pittsburg, Pa., s. 345-378, 1960.
2. G.Strang, G.J.Fix, “An Analysis of the Finite Element Method”, *Wellesley-Cambridge Press*, NJ, 2008.
3. Zienkiewicz, O.C., Cheung, Y.K., “The Finite Element Method in Structural and Continuum Mechanics”, *McGraw-Hill Publisher*, 1967.
4. Karaağaç, B. “Bousinesq tipi denklemlerin Galerkin sonlu eleman yöntemi ile Nümerik çözümleri”, *İnönü Üniversitesi Fen Edebiyat Fakültesi, Doktora tezi*, s.15, Malatya, 2016.
5. Uçar, Y., “B-spline sonlu eleman yöntemleri ile coupled diferansiyel denklemlerin nümerik çözümleri”, *İnönü Üniversitesi Fen Bilimleri Enstitüsü, Doktora tezi*, s. 3, Malatya, 2011.
6. Logan D.L., “A first Course in the Finite Element Method(Fourth Edition)”, Thomson, 2007.
7. Reddy, J.N., “An introduction to nonlinear Finite Element Analysis”, *Oxford University Press Inc.*, s. 5-7, New York, 2004.
8. Karakoç, S.B.G., “Sonlu Elemanlar Yöntemi ile Modifiye edilmiş Eşit Genişlikli Dalga Denkleminin Sayısal Çözümleri”, *İnönü Üniversitesi Fen Bilimleri Enstitüsü, Doktora Tezi*, s. 9-29 , Malatya, 2011.
9. Yağmurlu, N.M., “2-Boyutlu kısmi diferansiyel denklemlerin B-Spline sonlu eleman yöntemleri ile nümerik çözümleri”, *İnönü Üniversitesi Fen Bilimleri Enstitüsü, Doktora Tezi*, s.11, Malatya, 2011.
10. Dağ, İ., “Studies of B-spline finite elements”, *Ph. D. Thesis, University College of North Wales*, s. 5-8, Bangor, Gwynedd (UK), 1994.
11. Cheney, W. and Kincaid, D., “Numerical mathematics and computing” *Sixth Edition*, Thomson, 2008.

12. Prenter, P.M., “Splines and Variational Methods”, *John Wiley & Sons*, New York, 1975.
13. Stasa, F.L., “Applied finite element Analysis for Engineers” *CBS College Publishing*, s. 121-129, New York, 1985.
14. Reddy, J. N., “An introduction to nonlinear finite element analysis”, *Oxford Universty Press inc.*, s. 18-22, New York 2004.
15. Peregrine, D.H., “Calculations of the development of an undular bore”, *J. Fluid Mech.*, 25 s. 321-330, 1996.
16. Peregrine, D.H., “Long waves on a beach”, *J. Fluid Mech.*, 27, s. 815–827, 1967.
17. Benjamin, T.B., Bona, J.L., Mahony, J.J., “Model equations for waves in nonlinear dispersive systems”, *Phil. Trans. R. Soc. London*, 227, s. 47–78, 1972.
18. Bona, J.L., Bryant, P.J., “A mathematical model for long waves generated by wave makers in nonlinear dispersive systems”, *Proc. Cambridge Philos. Soc.*, 73, s. 391–405, 1973.
19. Eilbeck, J.C., McGuire, G.R., “Numerical study of the regularized long wave equation II: Interaction of solitary wave”, *J. Comput. Phys.*, 23, s. 63-73, 1977.
20. Jain, P.C., Shankar, R., Singh, T.V., “Numerical solution of regularized long-wave equation”, *Commun. Numer. Methods Eng.*, 9, s. 579-586, 1993.
21. Bhardwaj, D., Shankar, R., “A computational method for regularized long wave equation”, *Comput. Math. Appl.*, 40, s. 1397-1404, 2000.
22. Gou, B.Y., Cao, W.M., “The Fourier pseudospectral method with a restrain operator for the RLW equation”, *J. Comput. Phys.*, 74, s. 110–126, 1988.
23. Islam, S., Haq, S., Ali, A., “A meshfree method for the numerical solution of RLW equation”, *J. Comput. Appl. Math.*, 223, s. 997-1012, 2009.
24. Kaya, D., “A numerical simulation of solitary-wave solutions of the generalized regularized long-wave equation”, *Appl. Math. Comput.*, 149, s. 833-841, 2004.
25. Gardner, L.R.T., Gardner, G.A., Dag, I., “A B-spline finite element method for the regularized long wave equation”, *Commun. Numer. Methods Eng.*, 11, s. 59-68, 1995.

26. Gardner, L.R.T., Gardner, G.A., Dogan, A., “A least-squares finite element scheme for the RLW equation”, *Commun. Numer. Methods Eng.*, 12, s. 795-804, 1996.
27. Dag, I., Özer, M.N., “Approximation of RLW equation by least square cubic B-spline finite element method”, *Appl. Math. Model.*, 25, s. 221-231, 2001.
28. Dogan, A., “Numerical solution of RLW equation using linear finite elements within Galerkin’s method”, *Appl. Math. Model.*, 26, s. 771-783, 2002.
29. Dag, I., Saka, B., Irk, D., “Application of cubic B-splines for numerical solution of the RLW equation”, *Appl. Math. Comput.*, 159, s. 373-389, 2004.
30. Soliman, A.A., Raslan, K.R., “Collocation method using quadratic B-spline for the RLW equation”, *Int. J. Comput. Math.*, 78, s. 399-412, 2001.
31. Esen, A., Kutluay, S., “Application of a lumped Galerkin method to the regularized long wave equation”, *Appl. Math. Comput.*, 174, s. 833-845, 2006.
32. Ak, T., Dhawan, S., Karakoc, S.B.G., Bhowmik, S.K., Raslan, Kamal R., “Numerical study of rosenau-KdV equation using finite element method based on collocation approach”, *Math. Model. Anal.*, 22 (3), s. 373-388, 2017.
33. Xiao, Q., Zhao, H., “Nonlinear stability of generalized Benjamin-Bona-Mahony-Burgers shock profiles in several dimensions”, *J. Math. Anal. Appl.*, 406, s. 165-187, 2013.
34. Yin, Y.-X., Piao, G.-R., “Quadratic B-spline finite element method for the Benjamin- Bona-Mahony-Burgers equation”, *East Asian Math.J.*, 29 (5), 503–510, 2013.
35. Zarebnia, M., Parvaz, R., “Numerical study of the Benjamin-Bona-Mahony-Burgers equation”, *Bol. Soc. Parana. Mat.*, 35 (1), 127-138, 2017.
36. Zarebnia, M., Parvaz, R., “Cubic B-spline collocation method for numerical solution of the Benjamin-Bona-Mahony-Burgers equation”, *Int. J. Math. Comput. Sci.*, 7 (3) 540–543, 2013.
37. Arora, G., Mittal, R.C., Singh, B.K., “Numerical solution of BBM-Burger Equation with quartic B-Spline Collocation Method”, in: *Journal of Engineering Science and Technology Special issue on ICMTEA 2013 Conference*, s. 104-116, 2014.

38. Karakoç, S.B.G., Gao, F., Bhowmik, S.K., “Solitons and shock waves solutions for the rosenau-KdV-RLW equation”, *J. Sci. Art*, 4 (45), 1073-1088, 2018.
39. Karakoç, S.B.G., Bhowmik, S.K., Gao, F., “A numerical study using finite element method for generalized Rosenau-Kawahara-RLW equation”, *Comput. Methods Differential Equations*, 2018 .
40. Mei, M., Schmeiser, C., “Asymptotic profiles of solutions for the BBM-Burgers equation”, *Funkcial. Ekvac.*, 44, 151-170, 2001.
41. Kondo, C., Webler, C.M., “Higher-order for the generalized BBM-Burgers Equation: Existence and convergence Results”, *J. Appl. Anal. Int. J.*, 88 (7), 1-17, 2009.
42. Shakeel, M., Hassan, Q.M., Ahmad, J., Naqvi, T., “Exact solutions of the time fractional BBM-Burger equation by novel  $(G' /G)$ -expansion method”, *Hindawi Publishing Corporation, Adv. Math. Phys.* 181594, s. 15, 2014.
43. Abazari, R., “General solution of a special class on nonlinear BBM-B equation by using the  $(G' /G)$ -Expansion Method”, *Rom. Rep. Phys.*, 66 (2), 286-295, 2014.
44. Mohebbi, A., Faraz, Z., “Solitary wave solution of nonlinear Benjamin-Bona-Mahony-Burgers equation using a high-order difference scheme”, *Comput. Appl. Math.*, 36, 915-927, 2017.
45. Ganji, D.D., Babazadeh, H., Jalaei, M.H., Tashakkorian, H., “Application of He’s variational iteration method for solving nonlinear BBMB equations and free vibration of systems”, *Acta Appl. Math.*, 106, 359-367, 2009.
46. Hong, B., Lu, D., “Homotopic approximate solutions for the general perturbed Burgers-BBM equation”, *J. Inf. Comput. Sci.*, 11 (11), 4003-4011, 2014.
47. Kadri, T., Khiari, N., Abidi, F., Omrani, K., “Methods for the numerical solution of the Benjamin-Bona-Mahony-Burgers equation”, *Numer Methods Partial Differential Equations*, 24 (6), 1501-1516, 2008.
48. Alquran, M., Al-Khaled, K., “Sinc and solitary wave solutions to the generalized Benjamin–Bona–Mahony–Burgers equations”, *Phys. Scr.*, 83, 065010, s. 6, 2011.

49. Al-Khaled, K., Momani, S., Alawneh, A., “ Approximate wave solutions for generalized Benjamin-Bona-Mahony-Burgers equations”, *Appl. Math. Comput.*, 171 281–292, 2005.
50. El-Wakil, S.A., Abdou, M.A., Hendi, A., “ New periodic wave solutions via Exp-function method”, *Phys. Lett. A*, 372, 830-840, 2008.
51. Fakhari, A., Domairry, G., Ebrahimpour, “Approximate explicit solutions of nonlinear BBM-B equations by homotopy analysis method and comparison with the exact solution”, *Phys. Lett. A*, 368, 64-68, 2007.
52. Karakoç, S. B. G., Bhowmik, S. K. , “Galerkin finite element solution for Benjamin–Bona–Mahony–Burgers equation with cubic B-splines”, *Computers & Mathematics with Applications*, c. 77, s. 7, ss. 1917-1932, Nis. 2019.
53. Atouani, N., Omrani, K., “Galerkin nite element method for the Rosenau-RLW equation”, *Comput. Math. Appl.*, 66 (3), 289-303, 2013.
54. Ciarlet, P.G., “The Finite Element Method for Elliptic Problems”, *Society for Industrial and Applied Mathematics*, 2002.
55. Thomée, Vider “Galerkin Finite Element Methods for Parabolic Problems”, *Springer Series in computational Mathematics*, 1997.
56. Karakoç, S. B. G, Ali, K. K., “Theoretical and computational structures on solitary wave solutions of Benjamin Bona Mahony-Burgers equation”, *Tbilisi Mathematical Journal*, 14(2), 33-50, 2021